

El coste energético y tiempo de vuelo de una maniobra orbital

Número de palabras: 3876

Índice

1. Introducción	5
2. Marco Teórico	6
2.1. La Transferencia de Hohmann	6
2.2. El Problema de los 3 Cuerpos	6
2.3. La constante de Jacobi	8
2.4. Alcance de un satélite dependiendo de su constante de Jacobi	9
2.5. Órbitas de Halo	11
2.6. Variedades estables e inestables, y su aplicación a la RTI	11
3. Metodología	12
3.1. Cálculo de la transferencia de Hohmann	12
3.2. Desarrollo de software aplicado a la astrodinámica	14
3.3. Cálculo de las órbitas de halo	16
3.4. Transferencias desde una órbita geoestacionaria hasta una órbita de halo	17
4. Resultados	18
4.1. Resultados de los cálculos de las transferencias de Hohmann	18
4.2. Resultados de los cálculos de las órbitas de Lyapunov	22
4.3. Resultados de los cálculos de las inserciones en órbitas de Lyapunov	24
5. Conclusiones y comparación entre las transferencias de Hohmann y la RTI	28

6. Posibles mejoras	29
7. Bibliografía	31
7.1. Trabajos escritos	31
7.2. Recursos en línea	32
8. Anexos	33
8.1. Tablas de datos de la transferencia de Hohmann	33
8.1.1. Impulsos necesarios para llegar a la órbita deseada	33
8.1.2. Diferencia de energía entre la órbita de partida y la de llegada	33
8.1.3. Resultados analíticos y simulados para la transferencia de Hohmann	34
8.2. Tablas de datos de la RTI	34
8.2.1. Tiempo de vuelo dentro de la variedad estable dependiendo de la amplitud de la órbita de Lyapunov de partida	34
8.2.2. Impulso de inserción en la variedad estable	35
8.2.3. Impulso total	35
8.2.4. Tiempo de vuelo final dependiendo del radio final	35
8.2.5. Impulso total de la transferencia dependiendo del radio final	35
8.3. Código de desarrollo propio	36
8.3.1. Simulador de 'n' cuerpos	36
8.3.2. Simulador de potencial efectivo de un sistema	38
8.3.3. Simulación 3d de un sistema de 3 cuerpos y sus puntos de Lagrange	40

8.3.4. Simulador del CR3BP	43
8.3.5. Algoritmo selector de órbitas periódicas en el CR3BP	44
8.4. Código ajeno	50

1. Introducción

El espacio siempre ha generado una sensación especial en mí, y ha hecho que sea mi tema de mayor interés, y seguramente, mi futura profesión. El estudio del universo hace que me sienta increíblemente pequeño. Todas nuestras vidas, nuestras familias, nuestras guerras, nuestros problemas; todo lo que conocemos, o llegaremos a conocer, se reducirá a la nada con el paso de unos pocos siglos, un suspiro para el universo. Nada de lo que hagamos afectará a las grandes hipergigantes azules de la galaxia de Andrómeda, al colosal agujero negro en el centro de nuestra propia galaxia; pero eso es lo que me gusta tanto la astrofísica, el ser capaz de dejar atrás mi condición de ser temporal, vulnerable y engreído, abrazar la cruda realidad de nuestra existencia, y poder estudiar las maravillas que esconde nuestro cosmos, impasibles ante el paso de nuestro tiempo, esperando a ser descubiertas y estudiadas por nosotros, el más insignificante de los entes en el universo.

Dentro de mis temas de interés se encuentra la astrodinámica, el estudio de la mecánica celeste. En concreto, uno de los subtemas que más me atraen son los puntos de Lagrange, unos lugares en el espacio próximo a dos cuerpos orbitando el uno al otro en los que uno se puede colocar, y permanecer estacionario respecto al resto de cuerpos. La primera vez que oí acerca de ellos, hace unos tres años, no tenía ni idea de cómo podía existir tal cosa. ¿Cómo puede quedarse un cuerpo estacionario sin caerse? ¿Por qué no se usan más a menudo? La realidad es que sí se usan. Al conjunto de posibles maniobras orbitales realizadas con la ayuda de los puntos de Lagrange se les conoce como Red de Transporte Interplanetaria (RTI), pero debido a la dificultad que supone el estudio de las ecuaciones diferenciales que explican su naturaleza, no ha habido tiempo suficiente como para hacerla accesible para las misiones espaciales actuales.

Decidido a estudiar la naturaleza de los puntos de Lagrange, busqué más tipos de desplazamientos por el espacio, con el fin de tener algo con lo que compararlos. Pronto encontré lo que buscaba: la transferencia de Hohmann. La transferencia de Hohmann es probablemente el método más utilizado de todos, debido principalmente a su eficiencia a la hora de alcanzar órbitas en tiempos reducido con gastos de combustible mínimos.

Para este estudio se utilizará software desarrollado por mí junto con software de terceros, que únicamente tendrán en cuenta para hacer sus predicciones la Teoría de la Gravitación Universal. El objetivo de este trabajo es poder comparar los gastos energéticos, el desplazamiento total, y el tiempo empleado por ambos métodos para llegar de un punto a otro, y remarcar sus beneficios y flaquezas.

Por lo tanto, mi pregunta de investigación será: **¿Cómo influye el tipo de maniobra orbital en el gasto**

energético, tiempo de vuelo, y desplazamiento?

2. Marco Teórico

2.1. La Transferencia de Hohmann

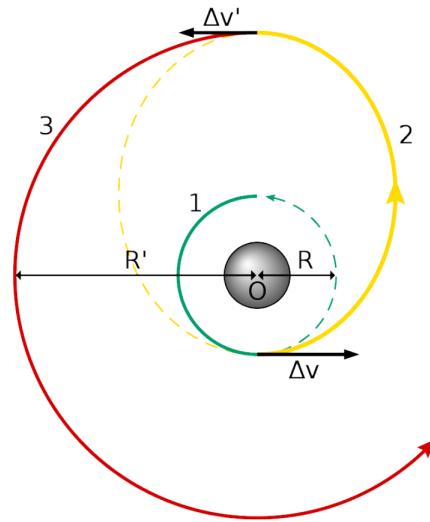


Figura 1: Transferencia de Hohmann¹

La transferencia de Hohmann es el método más utilizado para moverse por el sistema solar. Como se ve en la figura de abajo, la transferencia de Hohmann se suele utilizar para desplazar un objeto que está orbitando alrededor de un único astro en una órbita circular, a otra órbita circular más alejada (o más cercana). Consiste en realizar una serie de propulsiones que produzcan cambios de velocidad instantáneos en la nave. El primer cambio de velocidad es necesario para mover al objeto a una órbita elíptica con la amplitud deseada, y se deberá realizar perpendicular al radio de la órbita en el sentido del movimiento del cuerpo (prógrado). El segundo se realiza en el apogeo de la órbita elíptica previamente adquirida (en su punto más alto), y también deberá ser prógrado.

2.2. El Problema de los 3 Cuerpos

El problema de los 3 cuerpos busca predecir el comportamiento, inducido únicamente por la gravedad, de dichos cuerpos. Para resolverlo, se empezará con la teoría de la Gravitación Universal:

¹https://en.wikipedia.org/wiki/Hohmann_transfer_orbit

$$m \frac{d^2 \vec{R}}{d\tau^2} = -Gm_1m \frac{\vec{R}_{13}}{R_{13}^3} - Gm_2m \frac{\vec{R}_{23}}{R_{23}^3} \quad (1)$$

Donde \vec{R} es la distancia respecto al origen del tercer cuerpo, \vec{R}_{13} es la distancia desde el primer cuerpo hasta el tercero, y \vec{R}_{23} es la distancia desde el segundo cuerpo hasta el tercero.

Para poder simular la RTI de una forma clara y fácilmente analizable, se utilizará una modificación del problema de los 3 cuerpos: el problema de los 3 cuerpos circular reducido (CR3BP, según su traducción del inglés). Las diferencias entre ambos se hallan en el nombre. “Circular” significa que las órbitas de los dos cuerpos más grandes se consideran perfectamente circulares. “Reducido” significa que la masa del tercer objeto (en este caso un satélite) se considera tan pequeña en comparación con los otros dos cuerpos, que no se tiene en cuenta a la hora de desarrollar las ecuaciones de movimiento.

Primero, se deberá simplificar el caso concreto del sistema Tierra-Luna a uno general.

Se definirá una masa característica m' , que será igual a la suma de las masas de los dos cuerpos más grandes en el sistema (m_1 y m_2). Ahora se definirá el parámetro μ (la proporción entre las 2 masas) con la siguiente igualdad: $\mu = \frac{m_2}{m_1+m_2}$. Para este sistema, será igual a 0.01215.

En segundo lugar, se definirá una distancia característica l' que será igual a la distancia entre los dos cuerpos más grandes, $3,850 * 10^5$ en este caso. Se hará lo mismo con la velocidad, de forma que $v' = V * v$, donde V será igual a 1.025.

En tercer lugar se definirá un tiempo propio t' de una forma en la que la Constante Gravitacional sea igual a 1. Utilizando la tercera ley de Kepler, si se establece de antemano que el periodo orbital de los dos cuerpos más masivos es 2, entonces $t' = \frac{T}{2\pi}t$, donde T será $2,361 * 10^6$.

Así conseguimos simplificar la ecuación (1) a la expresión:

$$m \frac{d^2 \vec{r}}{dt'^2} = -\frac{(1-\mu)}{r_{13}^3} \vec{r}_{13} - \frac{\mu}{r_{23}^3} \vec{r}_{23} \quad (2)$$

Si se aplican las transformaciones necesarias para convertir el sistema de referencia en uno rotatorio, se obtendrá un sistema de 3 ecuaciones diferenciales paramétricas que permitirán calcular la aceleración ejercida en el satélite en todo momento:

$$\begin{cases} \ddot{x} = 2\dot{y} + x - \frac{1-\mu}{r_{13}^3}(x + \mu) - \frac{\mu}{r_{23}^3}(x - 1 + \mu) \\ \ddot{y} = -2\dot{x} + y - \frac{1-\mu}{r_{13}^3}y - \frac{\mu}{r_{23}^3}y \\ \ddot{z} = -\frac{1-\mu}{r_{13}^3}z - \frac{\mu}{r_{23}^3}z \end{cases} \quad (3)$$

2.3. La constante de Jacobi

El sistema de ecuaciones anterior posee una constante independiente del tiempo. Se trata de la constante de Jacobi:

$$C_J = n^2(x^2 + y^2) + 2\left(\frac{\mu_1}{r_1} + \frac{\mu_2}{r_2}\right) - (\dot{x}^2 + \dot{y}^2 + \dot{z}^2) \quad (4)$$

Se considera $n = 1$ en el sistema generalizado.

Si se calculan las constantes de Jacobi para una serie de satélites con velocidad nula, repartidos por el espacio cercano a los 2 cuerpos más masivos, y luego se traza una serie de líneas equipotenciales a lo largo de los valores devueltos, se obtendrá una gráfica como la de la figura 2.

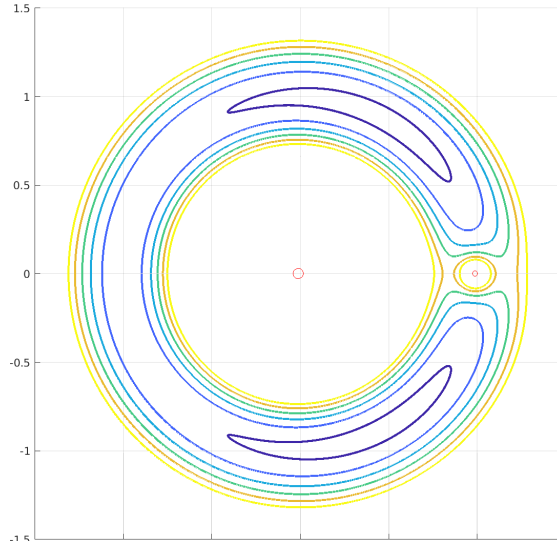


Figura 2: Representación con líneas equipotenciales de la constante de Jacobi²

Lo que representan las líneas equipotenciales es lo que se conoce en astrodinámica cómo superficies de velocidad relativa nula. Lo que eso significa es que un satélite cualquiera nunca podrá superar la línea

²Generado con Matlab. Código por Gereshes: <https://github.com/gereshes/Matlab-Astroynamics-Library>

correspondiente al valor de su constante de Jacobi. Esto será muy importante a la hora de estudiar la RTI.

2.4. Alcance de un satélite dependiendo de su constante de Jacobi

Como se ha mencionado antes, la constante de Jacobi de un satélite se puede utilizar para calcular la distancia máxima a la que puede llegar dicho objeto, o en otras palabras, su superficie de velocidad relativa nula. A continuación se muestran unas gráficas de diferentes satélites, que han partido de la misma posición, pero con velocidades diferentes. Cada uno de ellos tiene una constante de Jacobi diferente, y por lo tanto, posibles alcances distintos.

Se definen las características del satélite en la forma: $L(x, y, z, x', y', z')$. Para los 3 satélites $L(0,1, 0,491, 0, -0,7, 0,7, 0)$, $L(0,1, 0,491, 0, -0,71, 0,72, 0)$ y $L(0,1, 0,491, 0, -0,68, 0,78, 0)$, se obtienen las gráficas correspondientes (Figura 3).

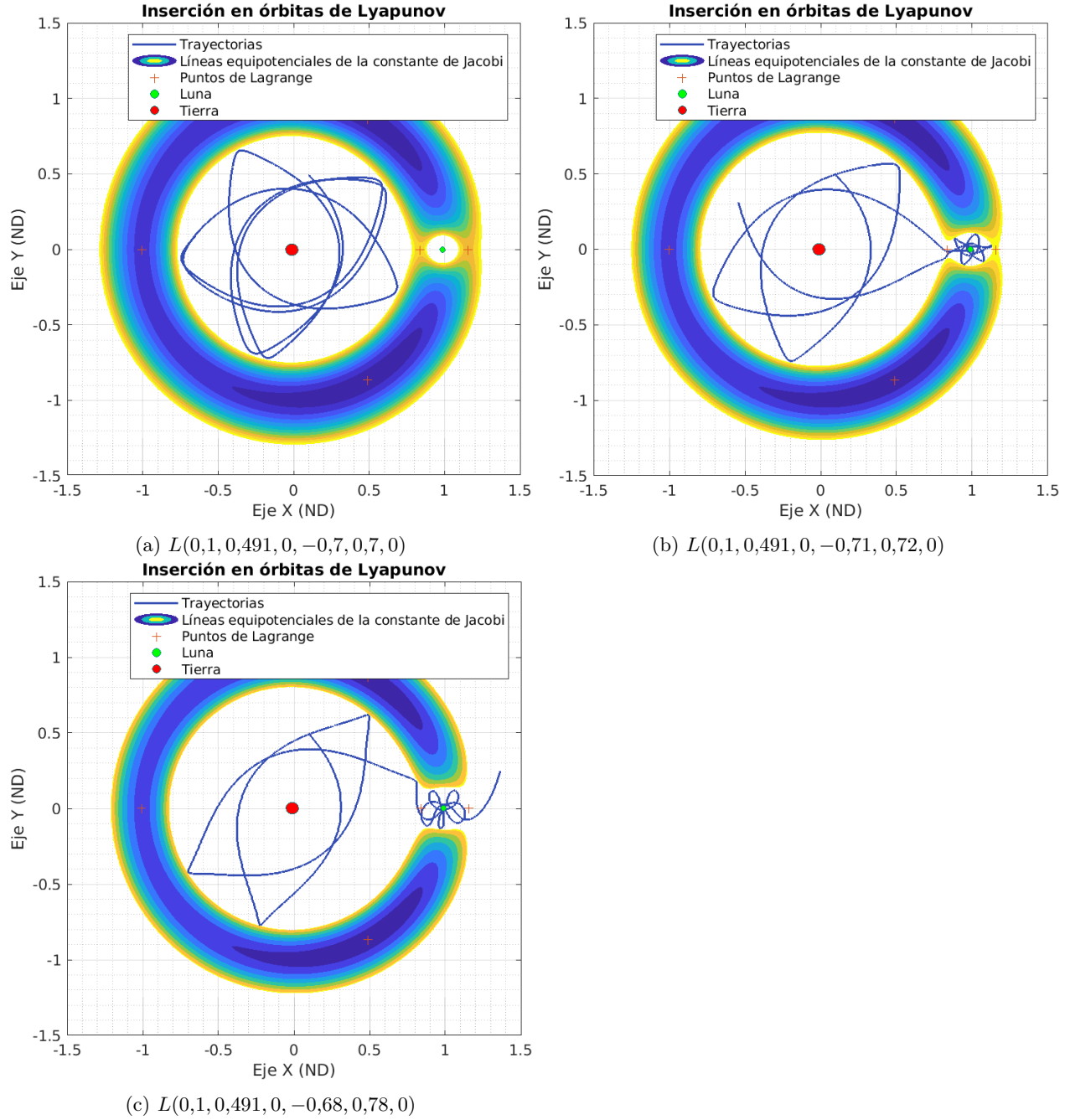


Figura 3: Órbitas en un sistema de referencia rotatorio, junto con representación de diferentes valores de la constante de Jacobi³

La franja amarilla clara en cada una de las gráficas representa el valor inicial de la constante de Jacobi de los satélites, o en otras palabras, las superficies de velocidad relativa nula. En la primera gráfica, el satélite está confinado dentro del sistema. Sin embargo, en la segunda gráfica se ve como el satélite gana acceso al segundo

³Generado con Matlab. Código por Gereshes: <https://github.com/gereshes/Matlab-Astroynamics-Library>

cuerpo gracias a una diferencia de velocidad inicial mínima. Por último, el tercer satélite es capaz de escapar por completo del sistema, de nuevo, con una diferencia de velocidad inicial muy pequeña. En las tres gráficas se aprecia que las puertas que surgen entre el primer cuerpo, el segundo, y el espacio exterior, son en realidad los puntos de Lagrange L_1 y L_2 . Con esta información se puede deducir que los puntos de Lagrange son una parte clave del funcionamiento de la RTI, y funcionan como ventanas a una “superautopista interplanetaria”.

2.5. Órbitas de Halo

La mayoría de órbitas convencionales giran alrededor de un cuerpo, o de un baricentro, de un sistema. Sin embargo, al estudiar el CR3BP, los físicos se encontraron con un nuevo tipo de órbitas que incumplían esta norma general. Las llamadas órbitas de halo giran alrededor de los diferentes puntos de Lagrange de un sistema. Existen muchos tipos, y solo las llamadas órbitas de Lyapunov son de interés para este estudio. Estas están contenidas en el mismo plano sobre el que rotan los 2 cuerpos más masivos del sistema; o en otras palabras: planas. Tienden a adquirir forma de “judía”.

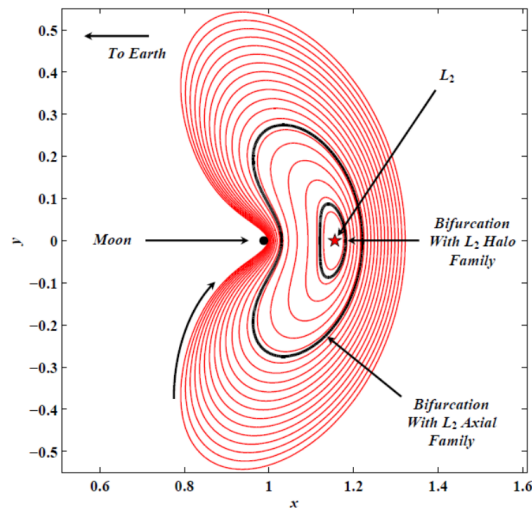


Figura 4: Órbitas de Lyapunov del sistema Tierra-Luna⁴

2.6. Variedades estables e inestables, y su aplicación a la RTI

Es posible crear variedades de 3 dimensiones (un conjunto de planos que forman una superficie) a partir de las trayectorias que seguiría un objeto que alcanza una órbita de halo concreta de forma asintótica (“estable”,

⁴Imagen tomada del trabajo de Daniel J. Grebow: “GENERATING PERIODIC ORBITS IN THE CIRCULAR RESTRICTED THREEBODY PROBLEM WITH APPLICATIONS TO LUNAR SOUTH POLE COVERAGE”

en azul), o a partir de las que sigue otro objeto que la escapa (“inestable”, rojo). Cualquier objeto que se encuentre en cualquier punto de estas variedades acabará inevitablemente alcanzando (o escapando) una órbita de halo. Las órbitas de halo, producto de las propiedades de los puntos de Lagrange, son las puertas entre las distintas variedades. De esta forma se empieza a ver más claramente el concepto de superautopista interplanetaria.

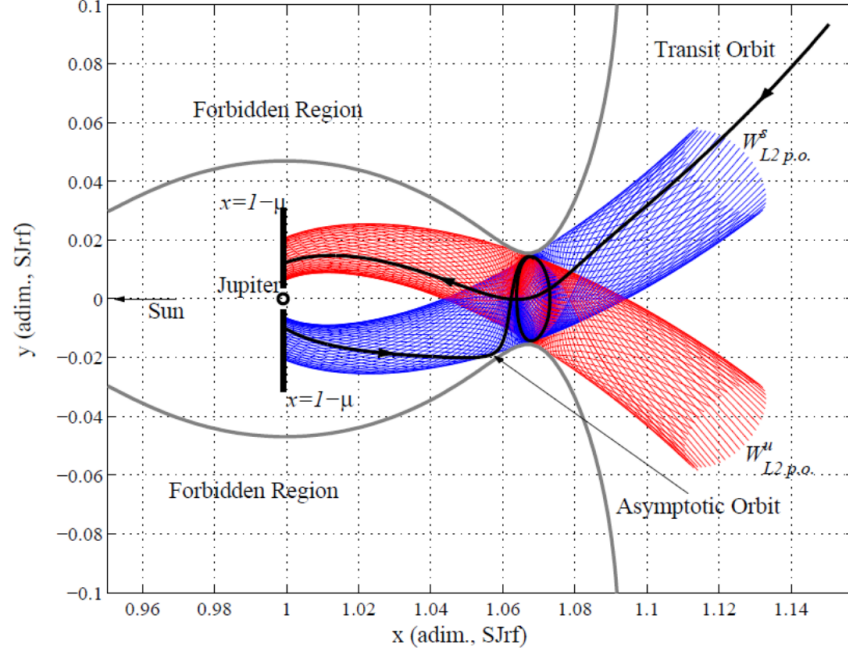


Figura 5: Variedades estable (azul) e inestable (rojo) para una determinada órbita de halo (negro) en el sistema Tierra-Luna⁵

3. Metodología

3.1. Cálculo de la transferencia de Hohmann

Para calcular los cambios de velocidad necesarios para realizar una transferencia de Hohmann, se despeja la velocidad en el teorema de la conservación de la energía:

$$v = \sqrt{GM\left(\frac{2}{r} - \frac{1}{a}\right)} \quad (5)$$

⁵Imagen sacada del trabajo de Franco Bernelli Zazzera, Francesco Topputo, Mauro Massari: “Assessment of Mission Design Including Utilization of Libration Points and Weak Stability Boundaries”

⁶https://en.wikipedia.org/wiki/Hohmann_transfer_orbit

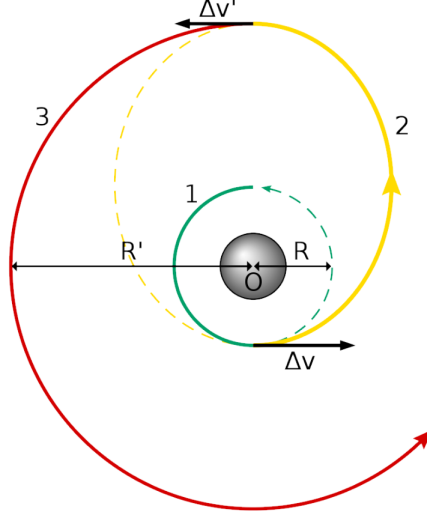


Figura 6: Transferencia de Hohmann⁶

Ahora, para hallar el cambio de velocidad en la primera transferencia desde la órbita inicial a la órbita elíptica de transición, se le resta la expresión correspondiente a la órbita circular inicial a la expresión correspondiente a la órbita elíptica:

$$\Delta v_1 = \sqrt{\frac{GM}{R}} \left(\sqrt{\frac{2R'}{R+R'}} - 1 \right) \quad (6)$$

Donde R es el radio de la órbita circular inicial, y R' el radio de la órbita circular final.

Si se lleva a cabo el mismo proceso para la segunda transferencia desde la órbita elíptica hasta la órbita circular final, se obtiene la siguiente expresión:

$$\Delta v_2 = \sqrt{\frac{GM}{R'}} \left(1 - \sqrt{\frac{2R}{R+R'}} \right) \quad (7)$$

Para calcular el tiempo requerido para llevar a cabo la transferencia se utilizará la tercera ley de Kepler. Se debe calcular la mitad del periodo de la órbita elíptica, como se ve en el diagrama debajo. Para estos cálculos se considerará que la órbita inicial tiene un radio de 1000 Km, más el radio de la Tierra (6.371 km).

Si se depejan y sustituyen los términos necesarios en la tercera ley de Kepler se obtiene:

$$T = \pi \sqrt{\frac{(R + R')^3}{GM}} \quad (8)$$

3.2. Desarrollo de software aplicado a la astrodinámica

Con el fin de ayudarme con el estudio del problema de los 3 cuerpos, desarrollé durante el transcurso de mi trabajo una serie de programas informáticos aplicados a los fenómenos y conceptos de astrodinámica que debía estudiar. Esto me permitió adquirir una mayor comprensión de su funcionamiento, a parte de conseguir unas herramientas para su estudio sobre las que tenía un control completo.

El primer proyecto que inicié fue un simulador gravitatorio. El programa calcula la atracción gravitatoria que siente un grupo de cuerpos por el resto, para luego sumarlas entre ellas y hallar la aceleración resultante. Esta aceleración se suma a su vez a la velocidad del cuerpo en cuestión, y ésta se suma a su vector posición. De esta forma, podemos calcular el comportamiento de todos los objetos que deseemos añadir.

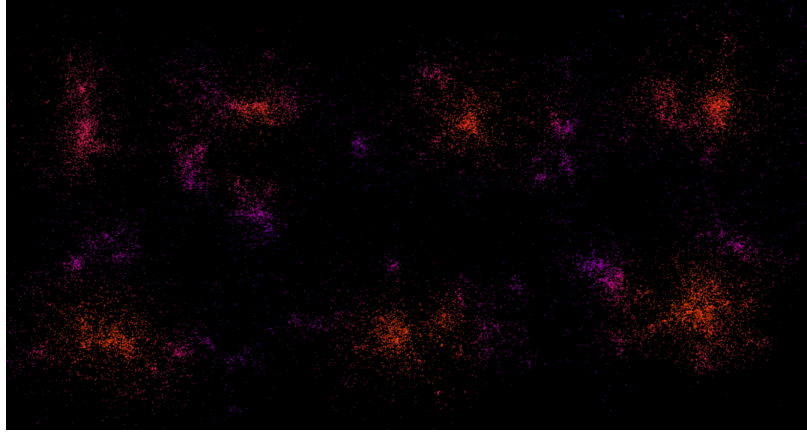


Figura 7: Simulación gravitatoria de 3000 cuerpos

El segundo programa que desarrollé fue un simulador de potencial efectivo. Esto último es la suma de la fuerza gravitatoria y la fuerza centrífuga aplicadas sobre un objeto. Para representarlo, deduje el potencial efectivo correspondiente a cada uno de los puntos en el plano estudiado, considerándolos objetos de masa despreciable, girando alrededor del centro de masas del sistema con una velocidad angular igual a la del segundo cuerpo. La fórmula utilizada es la siguiente:

$$U_{ef}(r) = \frac{L^2}{2mr^2} - \frac{GmM}{r} \quad (9)$$

Los resultados obtenidos se muestran en la figura 8.

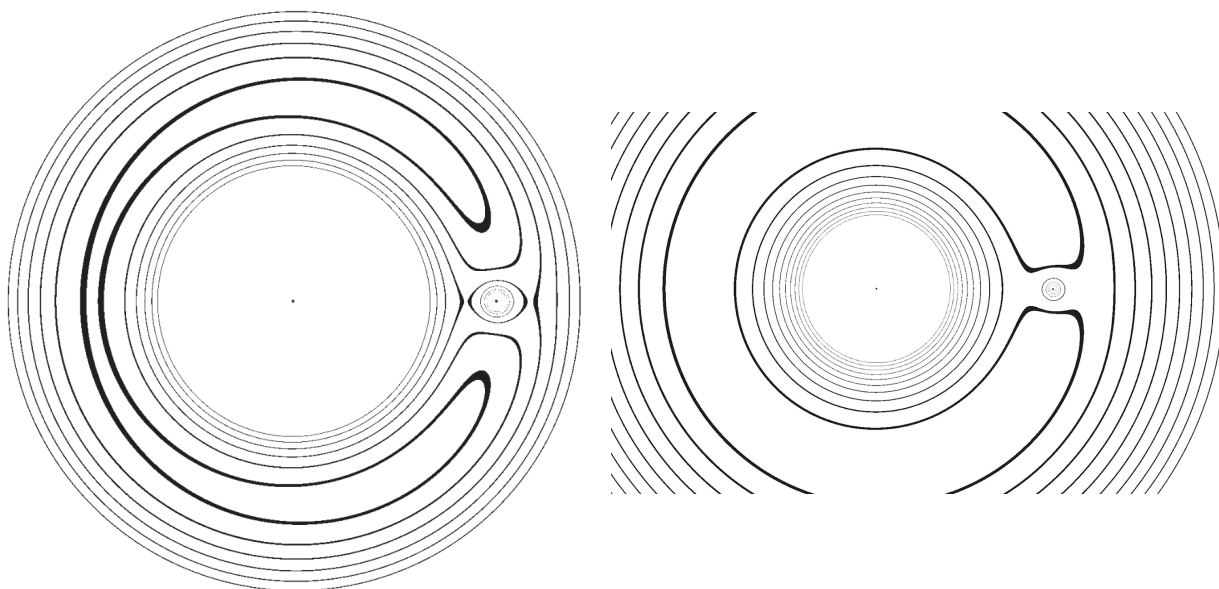


Figura 8: Representaciones del potencial efectivo del sistema Tierra-Luna

En tercer lugar, incluí en los programas anteriores el cómputo de los puntos de Lagrange. Como había predicho con mi programa anterior, estos surgieron en los máximos locales de la función del potencial efectivo.

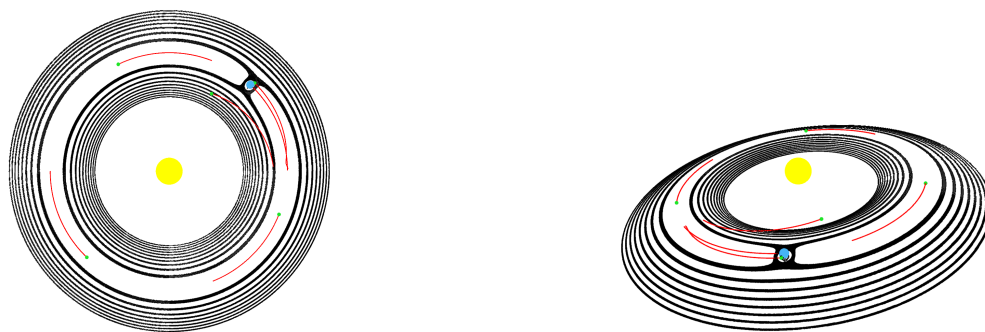


Figura 9: Representaciones del potencial efectivo y de los puntos de Lagrange del sistema Tierra-Luna

Por último, desarrollé un simulador del CR3BP, en el que se representa la órbita recorrida por un satélite de masa nula en un sistema rotatorio no inercial. Este programa en concreto entrará en juego más adelante. Su funcionamiento se basa en aplicar las ecuaciones del CR3BP, calculando la aceleración del satélite, para luego sumarla a su velocidad, que finalmente se suma a su posición.

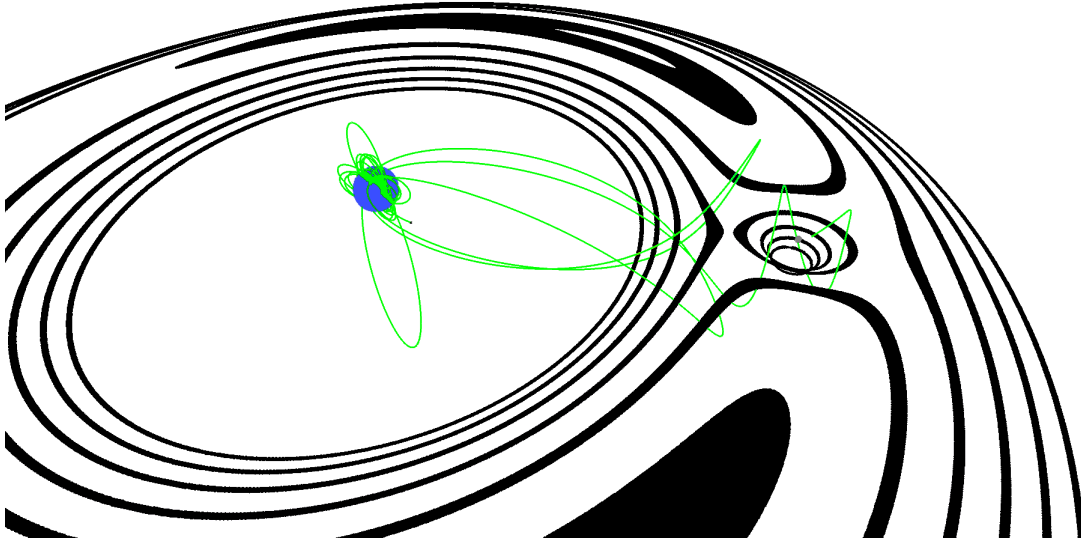


Figura 10: Representación de la órbita descrita por un satélite realizando una transferencia a la Tierra, sobre un mapa de líneas equipotenciales de los valores de la constante de Jacobi, en un sistema rotatorio no-inercial

3.3. Cálculo de las órbitas de halo

Una vez dispuse del software apropiado, para poder hallar órbitas de halo (órbitas de Lyapunov en nuestro caso), tuve en cuenta 2 propiedades extrapolables a todo cuerpo siguiendo dichas órbitas. Consideré que los dos cuerpos de mayor tamaño en el sistema estaban estacionarios sobre el eje X. Las órbitas de Lyapunov, al ser planas, no tienen en ningún momento componente Z. Eso significa que:

- Su velocidad en los ejes X y Z cuando corta el plano XZ es 0.
- Existen 2 puntos en su órbita donde se cumple la condición anterior.

Con estas normas en mente, somos capaces de desarrollar un método para hallar la órbita de Lyapunov en un punto cualquiera:

1. Se elige un punto contenido en el eje X positivo.
2. Se generan una serie de objetos con masa nula que partan desde ese punto, con velocidades en los ejes X y Z nulas. A estos objetos se les dará una velocidad inicial en el eje Y que se encuentre en un rango pertinente previamente seleccionado.

3. Se desarrollan las ecuaciones de movimiento del CR3BP.
4. Si el objeto vuelve a cruzar el plano XZ con velocidades en los ejes X y Z nulas, hemos hallado una órbita de Lyapunov sin necesidad de realizar el cómputo de la órbita entera, ahorrándonos tiempo de procesamiento.

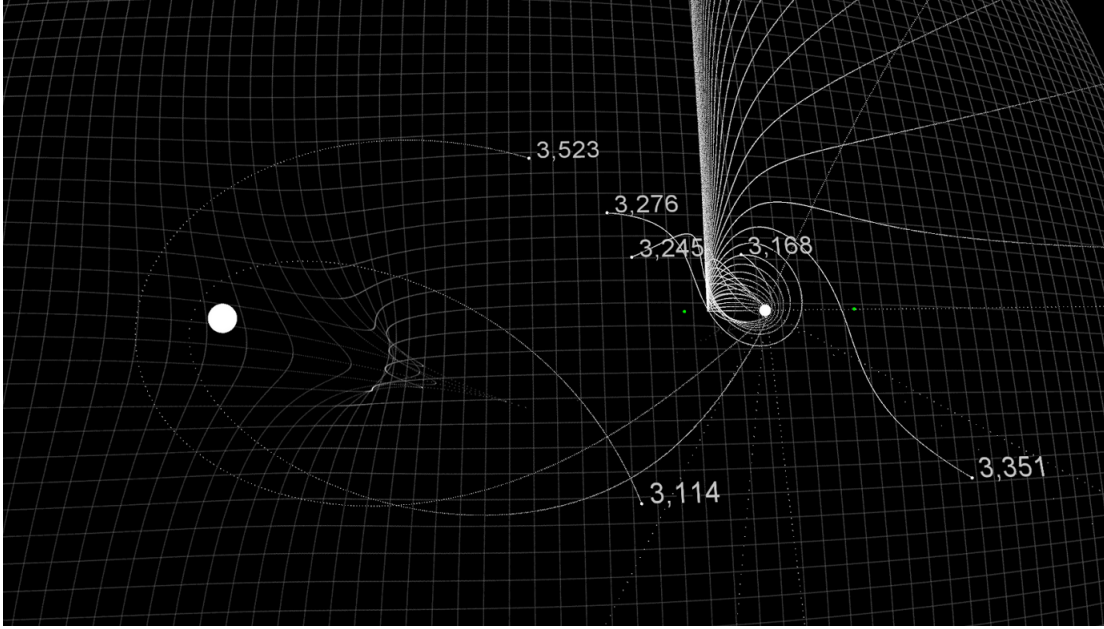


Figura 11: Intento de estimación de órbita de Lyapunov. Los números representan la constante de Jacobi de cada satélite, cuya órbita está dibujada en blanco

3.4. Transferencias desde una órbita geoestacionaria hasta una órbita de halo

Una vez hemos hallado las órbitas de Lyapunov, deberemos calcular la transferencia hasta ellas. El método que utilicé consiste en lanzar desde la Tierra un satélite con impulso variable, para luego realizar una propulsión puntual en el momento adecuado con el objetivo de insertar el objeto en la variedad estable correspondiente a la órbita de halo deseada. Debido a la naturaleza de las variedades estables, el objeto acabará inevitablemente en una órbita de halo.

Al tratarse de sistemas dinámicos caóticos, recurrí a un modelo de algoritmo desarrollado por Dawn Perry Gordon. Dicho algoritmo es en esencia muy parecido al que desarrollé yo para hallar órbitas de Lyapunov, adecuado específicamente a la búsqueda de inserciones en órbitas de halo. Este seleccionará de forma automática las trayectorias que cumplan nuestros requisitos (ángulo, altura de la órbita original), y devolverá a su vez el impulso necesario para llevar a cabo la maniobra, además del tiempo requerido.

En este caso, resulta más sencillo hallar las transferencias al revés: comenzando en la órbita de halo, y terminando en la Tierra, utilizando las inversas de las fórmulas del CR3BP. Se debe recordar que nuestra simulación actual calcula los resultados para un modelo general, por lo que se deberá revertir la transformación realizada en el apartado “El Problema de los 3 Cuerpos” si se pretende obtener los datos específicos para un sistema concreto, como será más adelante mi caso.

El algoritmo funciona de la siguiente manera (es importante recordar que el tiempo está invertido):

1. Se toma una amplitud para la órbita de halo y el ángulo con el que se aplicará la velocidad respecto al eje X (ver dibujo). Se decide un impulso inicial (Δv) de forma aleatoria, o basándose en los resultados de una iteración anterior.
2. Se aplican las ecuaciones del CR3BP de forma invertida, o “atrás en el tiempo”.
3. Se mide la distancia desde el satélite hasta la Tierra. Si se encuentra en el rango de 1000 - 2200 Km (más el radio de la Tierra, 6.371 km) se finaliza la simulación y se reitera el proceso, con las mismas condiciones iniciales, pero con una sensibilidad mayor. De esta forma se obtendrá un resultado cada vez más exacto para el impulso requerido.
4. Si el satélite no tiene las condiciones descritas en el paso anterior, se pasa a la siguiente posible velocidad.

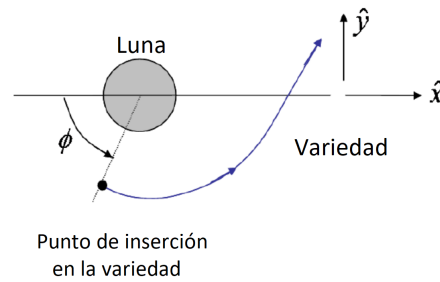


Figura 12: Esquema del modelo de funcionamiento del algoritmo usado para hallar las órbitas de halo⁷

4. Resultados

4.1. Resultados de los cálculos de las transferencias de Hohmann

⁷Imagen obtenida del trabajo de Dawn Perry Gordon: “TRANSFERS TO EARTH-MOON L2 HALO ORBITS USING LUNAR PROXIMITY AND INVARIANT MANIFOLDS”

⁸https://en.wikipedia.org/wiki/Hohmann_transfer_orbit

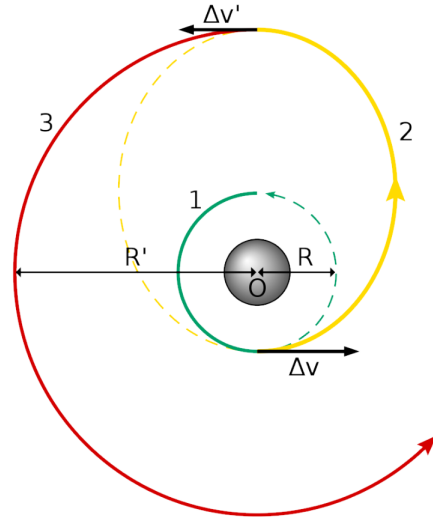
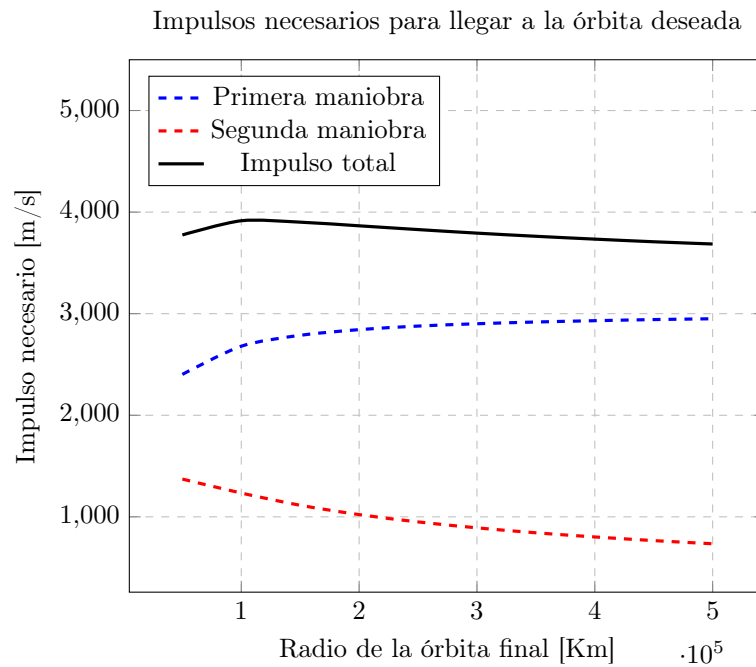
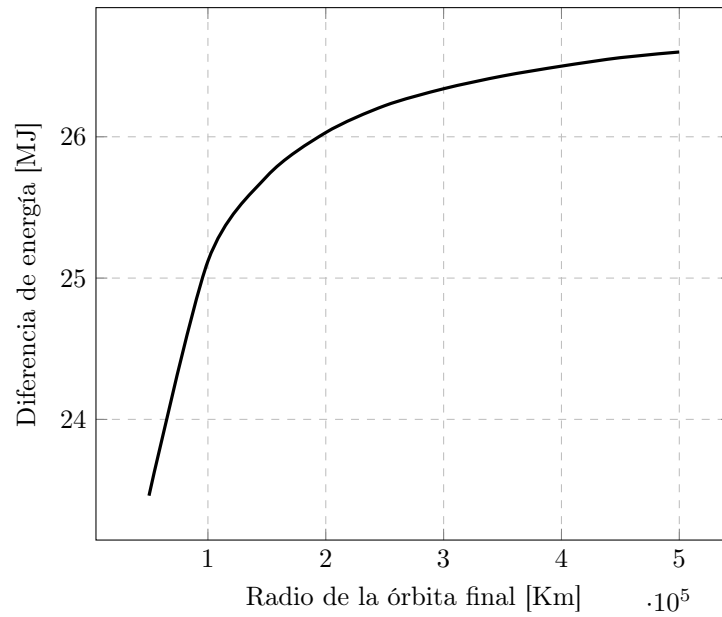


Figura 13: Transferencia de Hohmann⁸

Para calcular las transferencias de Hohmann consideré que la órbita de partida tenía un radio de 1100 Km, además del radio de la Tierra, 6378 Km. Luego calculé Δv_1 y Δv_2 , la suma de ambas, y el tiempo requerido para realizar la transferencia.



Diferencia de energía entre la órbita de partida y la de llegada



Observamos un claro incremento de la duración de vuelo respecto al radio de la órbita final, y al mismo tiempo una subida en la eficiencia (menos impulso necesario).

Al cotejar los resultados analíticos con los del simulador utilizado⁹ las variaciones eran mínimas, debidas probablemente a diferencias en el redondeo. [H]

⁹,

⁹<https://es.mathworks.com/matlabcentral/fileexchange/38942-the-hohmann-orbit-transfer>

Resultados analíticos y simulados para la transferencia de Hohmann

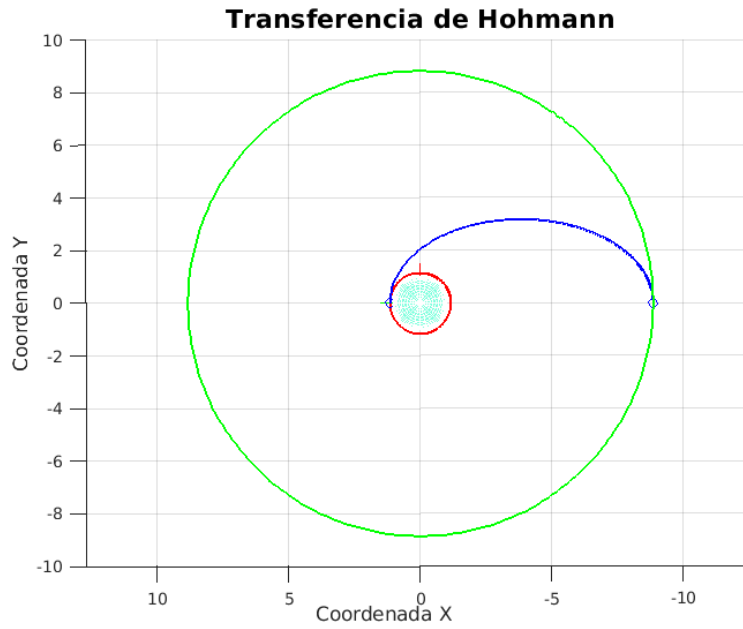
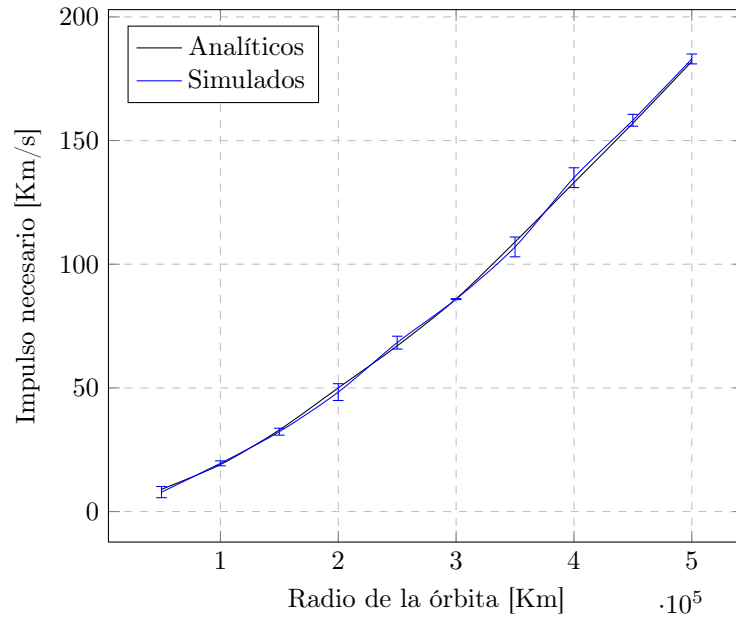


Figura 14: Muestra del resultado del simulador para la transición entre una órbita circular a 1000 Km de la superficie de la Tierra a otra a 50 000 Km¹⁰

¹⁰<https://es.mathworks.com/matlabcentral/fileexchange/38942-the-hohmann-orbit-transfer>

4.2. Resultados de los cálculos de las órbitas de Lyapunov

A la hora de desarrollar el algoritmo que llevase a cabo la búsqueda de órbitas de Lyapunov, encontré varios problemas que me impidieron poder concluir el experimento satisfactoriamente. Al proceder con el método previamente explicado en el apartado de "Metodología", los resultados de las órbitas que obtuve no fueron los esperadas.

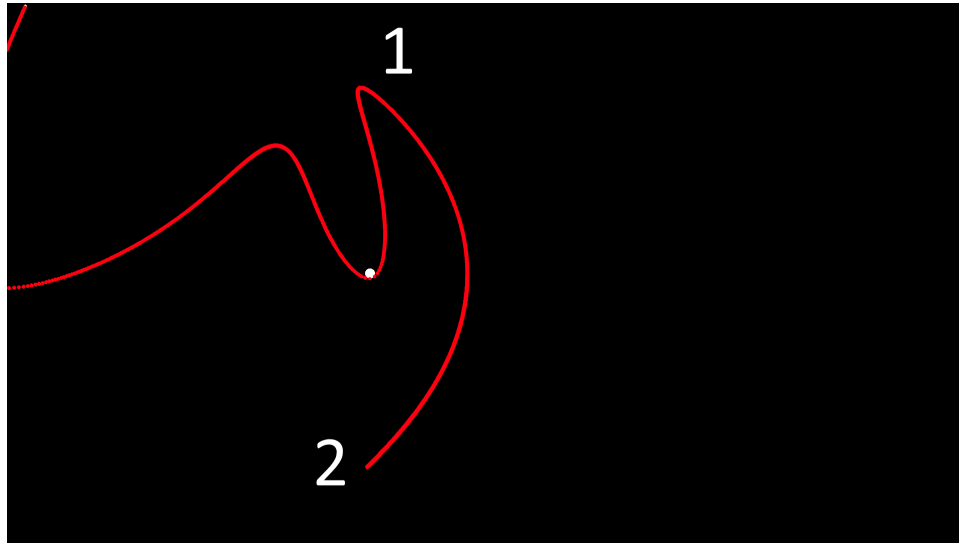


Figura 15: Intento de estimación de órbita de Lyapunov (en rojo). El satélite parte del punto 1, y sigue una trayectoria aparentemente periódica, pero en vez de orbitar, disminuye su velocidad hasta llegar a 0 (en el punto 2), vuelve sobre sus pasos, y finalmente cae hacia la Luna

En vez de seguir órbitas regulares, los objetos generados seguían uno de dos comportamientos: o caían en el pozo gravitatorio más cercano (como en la figura 15), o escapaban hacia el espacio exterior. Lo mismo ocurrió cuando intenté simular otros tipos de órbitas de halo. Para este último caso, desarrollé una inteligencia artificial que detectaba automáticamente el paso de las partículas, y evaluaba si estas se trataban o no de órbitas de halo. Con cada iteración, la IA aumentaba su sensibilidad, hasta que solo quedasen aproximaciones cercanas a las órbitas de halo canónicas.

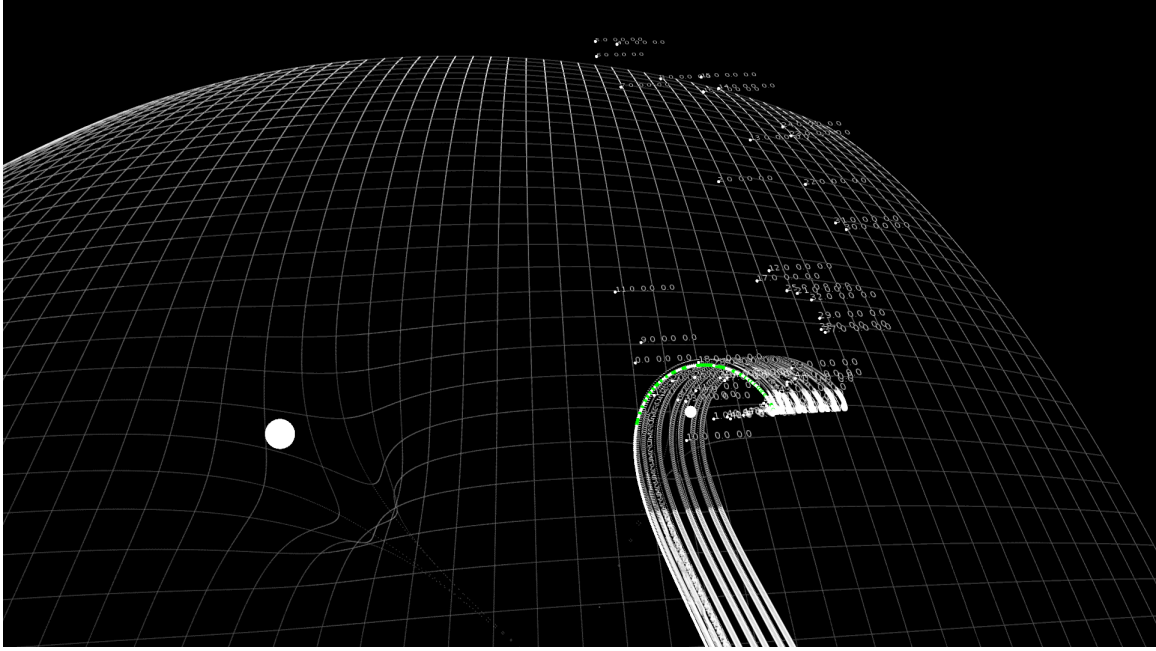


Figura 16: Intento de estimación de órbita de Lyapunov. Los números representan la constante de Jacobi de cada satélite, cuya órbita está dibujada en blanco

Sin embargo, todos mis intentos resultaron en órbitas no periódicas. Algunas de las más refinadas por la inteligencia artificial antes descrita guardaban similitudes con las órbitas de halo esperables, pero estos parecidos eran solo momentáneos (ver figura 16).

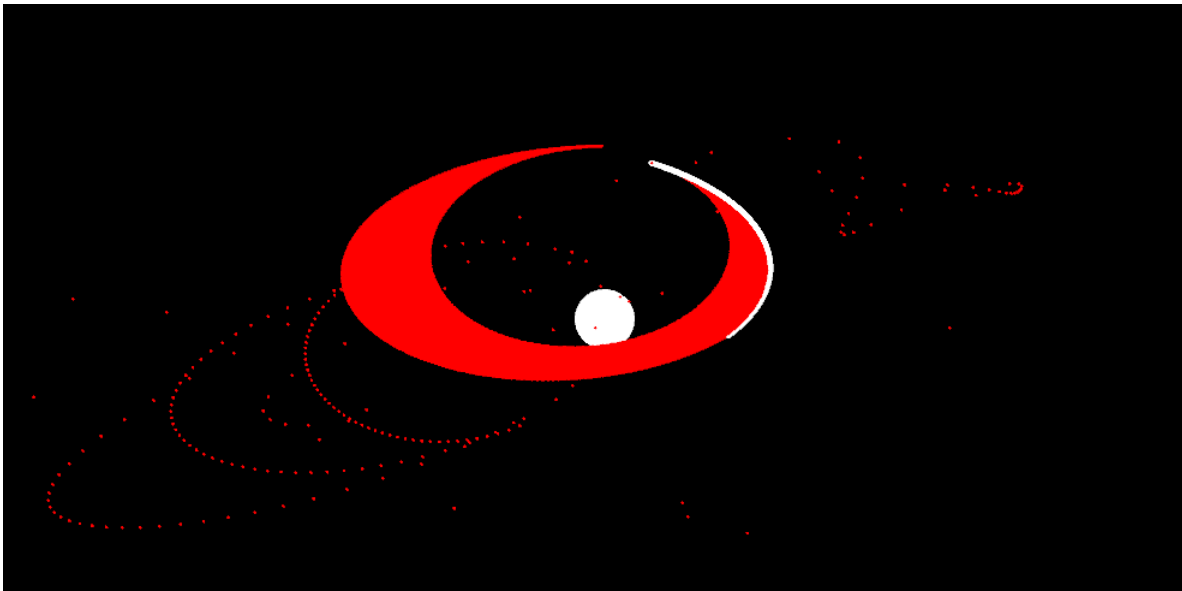


Figura 17: Intento de estimación de órbitas de halo. La superficie roja representa la variedad formada por el conjunto de órbitas simuladas. Las trayectorias parecen ser periódicas, pero terminan evolucionando de forma irregular, y cayendo hacia el cuerpo más cercano

4.3. Resultados de los cálculos de las inserciones en órbitas de Lyapunov

Debido a la complejidad del proceso, y de las dificultades que tuve al desarrollar mi propio algoritmo, me apoyé en los hallazgos de D. P. Gordon para seguir con el estudio. Utilizando sus estimaciones para las inserciones, simulé yo mismo algunas de las posibles órbitas, y recopilé sus datos.

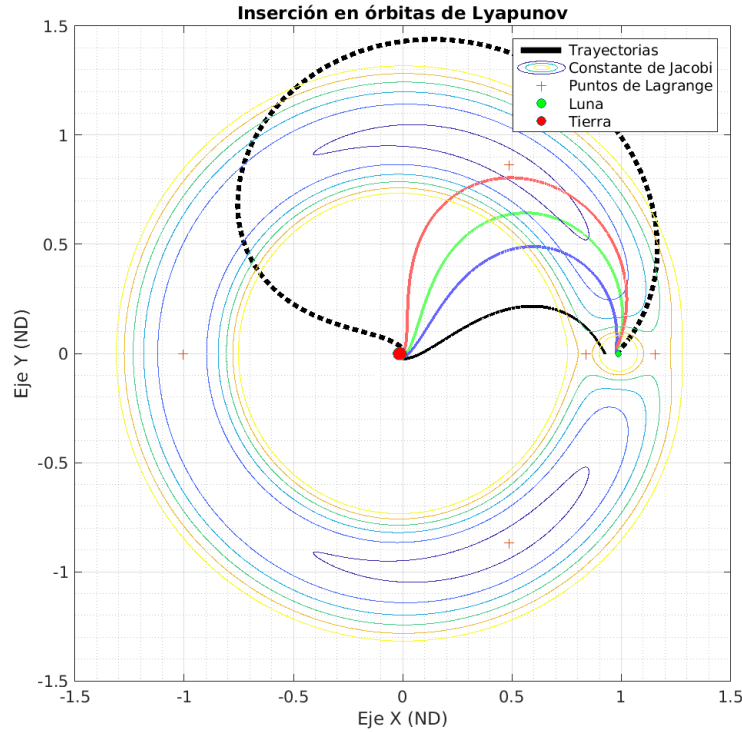
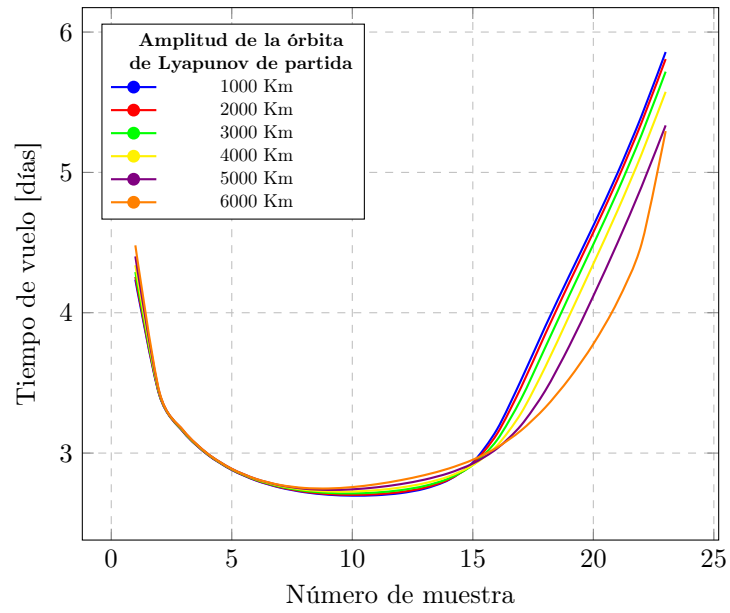


Figura 18: Representación de la inserción de 5 satélites en órbitas terrestres bajas en un sistema rotatorio no-inercial¹¹

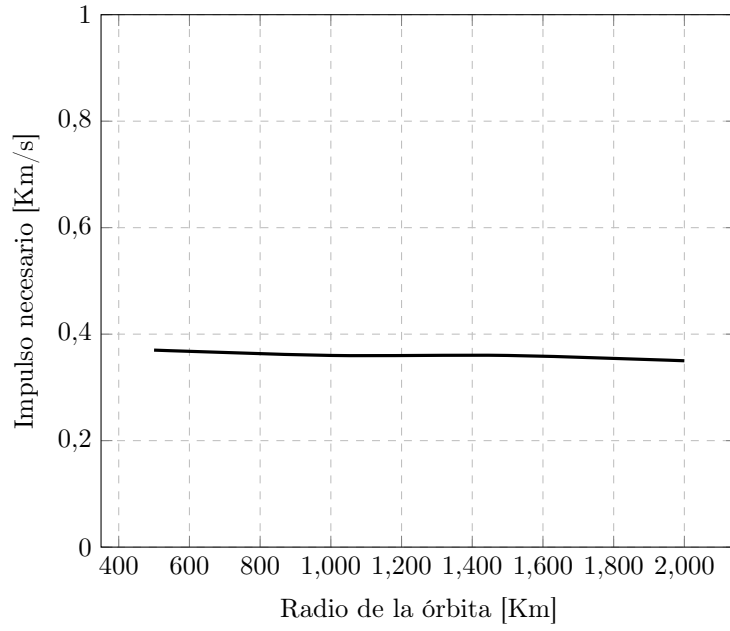
A la hora de calcular el impulso (δv), se debe tener en cuenta no solo el coste de inserción en la variedad inestable, sino también el coste de inserción en la órbita terrestre final (de nuevo, el tiempo fluye en sentido contrario). Este último es un factor a destacar, ya que la diferencia de velocidad necesaria para escapar de la órbita terrestre sube de forma importante cuanto más cercana esté esta a la Tierra, a diferencia del impulso de inserción en la variedad estable.

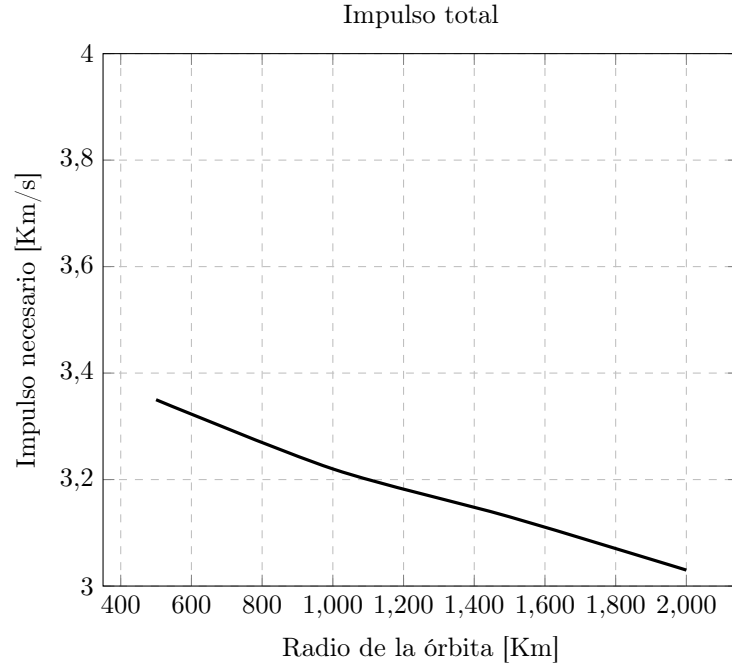
¹¹Generado con Matlab. Datos sacados del trabajo de Dawn Perry Gordon: "TRANSFERS TO EARTH-MOON L2 HALO ORBITS USING LUNAR PROXIMITY AND INVARIANT MANIFOLDS". Código por Gereshes: <https://github.com/gereshes/Matlab-Astroynamics-Library>

Tiempo de vuelo dentro de la variedad estable



Impulso de inserción en la variedad estable



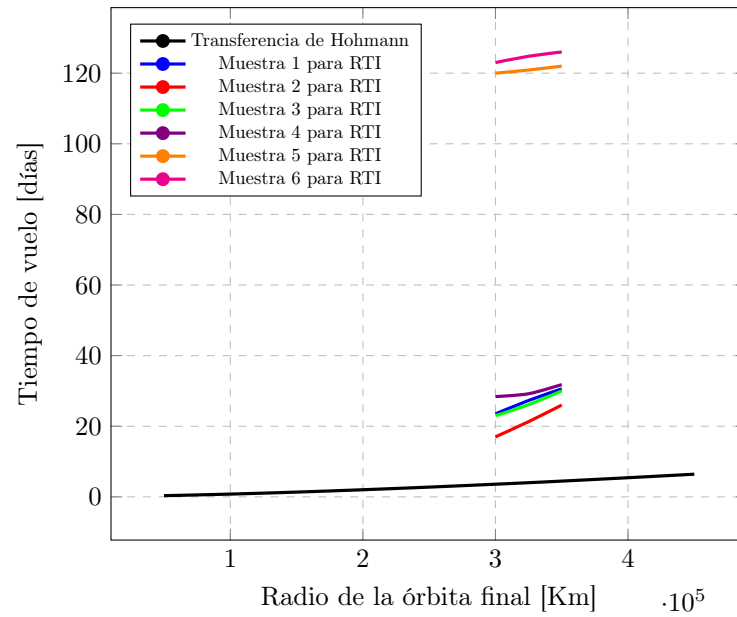


El cálculo del impulso total involucra también el cálculo de las órbitas de Lyapunov de partida, tarea larga y tediosa que, debido a las complicaciones con mi algoritmo, fui incapaz de llevar a cabo a pesar de mis esfuerzos. Es por esto que usaré los datos de D. P. Gordon y otros autores. Las barras para los resultados de la RTI (agrupados en muestras dependiendo del tipo de transferencia y/o procedencia de los datos¹²¹³) se muestran únicamente en los rangos en los que es posible realizar una inserción en una órbita suficientemente estable.

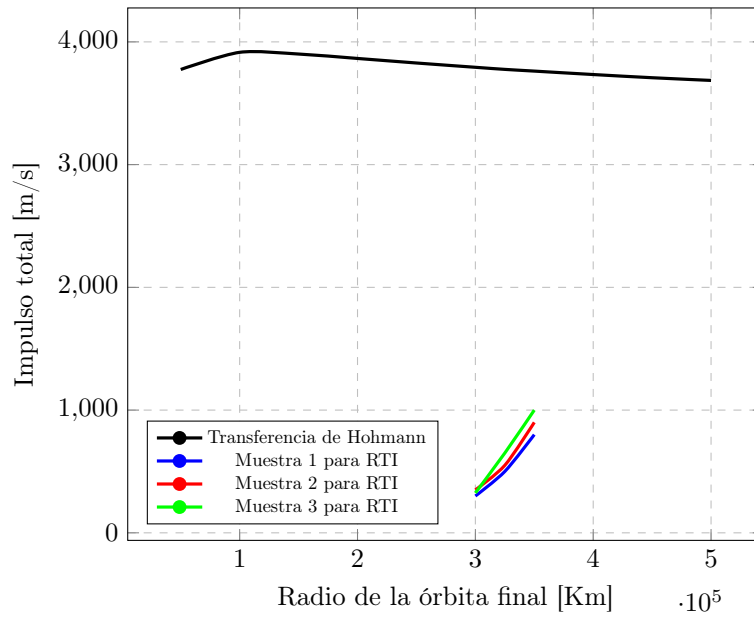
¹²<https://descanso.jpl.nasa.gov/monograph/series12/LunarTraj-04Chapter3TransferstoLunarLibrationOrbits.pdf>

¹³Trabajo de Franco Bernelli Zazzera, Francesco Toppeto, Mauro Massari: "Assessment of Mission Design Including Utilization of Libration Points and Weak Stability Boundaries"

Tiempo de vuelo final dependiendo del radio final



Impulso total de la transferencia dependiendo del radio final



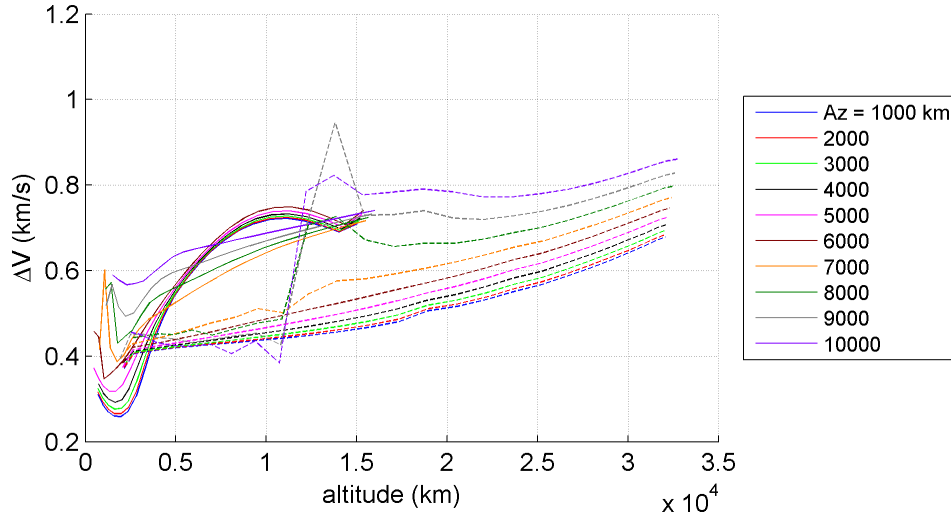


Figura 19: Impulso total de la maniobra usando la RTI, dependiendo de la altitud de la órbita final respecto a la Luna, por D. P. Gordon¹⁴

5. Conclusiones y comparación entre las transferencias de Hohmann y la RTI

Después de analizar nuestros resultados, podemos resumir la respuesta a nuestra pregunta en la siguiente tabla:

Para el mismo desplazamiento	Tiempo de Vuelo	Gasto Energético
Transferencia de Hohmann	Menor	Mayor
RTI	Mayor	Menor

En comparación con el resto de métodos de desplazamiento por el sistema solar, la transferencia de Hohmann ha demostrado ser una de las mejores en términos de eficiencia de combustible, tiempo de vuelo y dificultad. Sin embargo, el hecho de que se necesite hacer más de una maniobra (la transferencia desde la órbita inicial a la elíptica, y desde la elíptica a la final), no solo dificulta el proceso, sino que además añade gastos a la misión, puesto que la nave se ve en la obligación de transportar el combustible necesario para la segunda transferencia hasta poder usarlo. Esto último impide la reutilización de las partes del cohete correspondientes, a parte de ocupar el espacio que, de otra manera, habría ocupado una carga más valiosa.

¹⁴Imagen obtenida del trabajo de Dawn Perry Gordon: "TRANSFERS TO EARTH-MOON L2 HALO ORBITS USING LUNAR PROXIMITY AND INVARIANT MANIFOLDS"

A pesar de ser increíblemente eficientes en comparación con el resto de maniobras, y de acortar los tiempos de vuelo al mínimo, las transferencias de Hohmann suponen un gasto energético que perjudica gravemente al desarrollo de nuevas misiones espaciales. La RTI, por el contrario, ofrece la posibilidad de realizar transferencias energéticamente baratas, sacrificando a cambio rapidez. Aunque los tiempos de vuelo sean mayores, si se utilizan de forma bien planeada, superarán con creces la eficacia del resto de transferencias, por lo que posee una capacidad para enviar cargas de masa elevada al espacio mucho mayor que la de las transferencias de Hohmann.

Las aplicaciones en la vida real en el futuro de la RTI serán definitivamente mayores a las de las transferencias de Hohmann. En escenarios como el transporte de naves nodriza humanas, posiblemente con el fin de colonizar otros planetas, donde el tiempo no es un factor tan crítico como lo es la eficiencia energética, la RTI ofrecería un medio para desplazar las ingentes cantidades de masa en movimiento con un gasto energético mínimo, comparado con otro tipo de maniobras. Cabe destacar, además, la facilidad con la que un cuerpo se puede desplazar de variedad en variedad, de sistema en sistema, a lo largo del sistema solar, con la ayuda de la RTI.

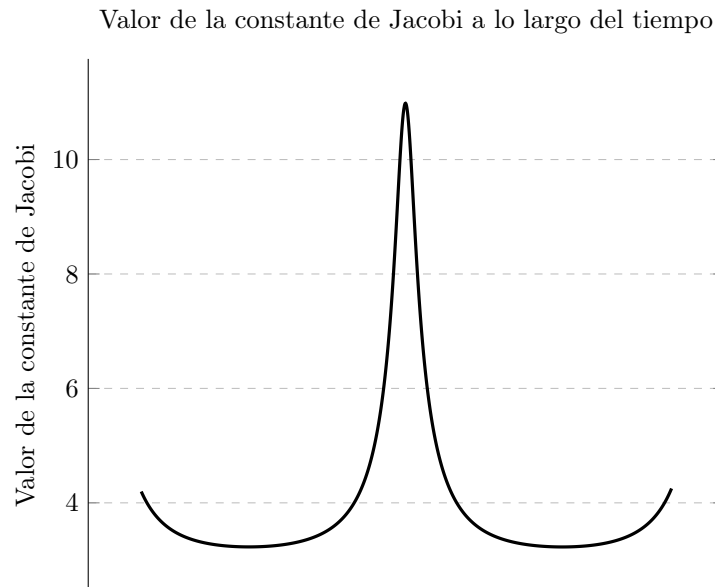
En segundo lugar, las órbitas de halo parecen ser posiciones idóneas para estaciones espaciales, satélites u observatorios que desean estar en reposo respecto al sistema en el que se encuentran. Por ejemplo, una base espacial posicionada en una órbita alrededor del punto L2 estaría en el lugar perfecto para dar salida a misiones interplanetarias, o para recibirlas. También sería el lugar perfecto para construir naves de un tamaño demasiado grande para hacerlo en la Tierra, brindándonos la facilidad de construir sin preocuparse de la gravedad, además de tener a la nave puesta ya en órbita, eliminando la necesidad de incluir los aparatosos y costosos propulsores necesarios para abandonar la Tierra.

En conclusión, puede que las transferencias de Hohmann sean una mejor opción para las misiones espaciales a día de hoy, dada su eficiencia y corta duración. Sin embargo, es innegable que el potencial que ofrece la RTI para futuras misiones, mucho más ambiciosas que las de ahora, hará que a la larga sea el método de transporte por excelencia.

6. Posibles mejoras

Mis hipótesis respecto al por qué de las anomalías en los resultados de mi algoritmo se centran principalmente en el software usado para el desarrollo del algoritmo. Mis dificultades no son un caso aislado, y tras hablarlo

con un experto¹⁵ en el tema, puedo concluir que los errores de predicción de mi programa se deben en parte a su imprecisión a la hora de calcular parámetros tan sensibles como la constante de Jacobi, que a lo largo de la línea temporal no se mantenía constante, siguiendo un patrón que se correspondía con su proximidad al cuerpo más cercano.



Sin embargo, existe la posibilidad de que el problema sea otro. De cualquier modo, el proyecto no quedará abandonado, y pretendo arreglarlo y continuar mis investigaciones con él. Sin embargo, hasta que eso ocurra, me he visto obligado a usar software de terceros para seguir con el estudio de las órbitas de halo. Este último funciona de la misma manera que el mío, pero con una mayor precisión, que le permite llegar a resultados satisfactorios.

¹⁵Rubinsztejn, Ari

7. Bibliografía

7.1. Trabajos escritos

- L. Anderson, R. y S. Parker, J. Low-Energy Lunar Trajectory Design.
- Bernelli Zazzera, F., Massari, M. y Topputo, F. Assessment of Mission Design Including Utilization of Libration Points and Weak Stability Boundaries.
- Castelli, R., Dellnitz, M., Mingotti, G. and Zanzottera, A. Low-Energy Earth-to-Halo Transfers in the Earth–Moon Scenario with Sun-Perturbation.
- J. Dichmann, D., J. Doedel, E. y C. Paffenroth, R. (2002). The Computation of Periodic Solutions of 3-Body Problem Using the Numerical Continuation Software Auto.
- Eagle, David. Orbital Mechanics with MATLAB, The Hohmann Orbit Transfer.
- P. Gordon, Dawn. Transfers to Earth-Moon L2 Halo Orbits Using Lunar Proximity and Invariant Manifolds.
- J. Grebow, Daniel (2006). Generating Periodic Orbits in the Circular Restricted Threebody Problem with Applications to Lunar South Pole Coverage.
- D. Hall, C. y Kim, Mischa. Lyapunov and Halo Orbits about L2.
- S. Koon, Wang, W. Lo, Martin, E. Marsden, Jerrold, D. Ross, Shane. (2011). Dynamical Systems, the Three-Body Problem and Space Mission Design.
- Marcote Gerard Gómez, M., Masdemont, J. Trajectory Correction manoeuvres in the Transfer to Libration Point Orbits.
- McCaine, Gina (2003-04). Halo orbit design and optimization.
- R. Rausch, Raoul (2005). Earth to Halo Orbit Transfer Trajectories.
- E. Roberts, C. (2002). The SOHO Mission L1 Halo Orbit Recovery From the Attitude Control Anomalies of 1998.
- Sang Koon, W. CDS140B: Computation of Halo Orbit.

7.2. Recursos en línea

- Effective potential. [en línea]. Disponible en: https://en.wikipedia.org/wiki/Effective_potential
- Hohmann transfer orbit. [en línea]. Disponible en: https://en.wikipedia.org/wiki/Hohmann_transfer_orbit
- Lagrangian point. [en línea]. Disponible en: https://en.wikipedia.org/wiki/Lagrangian_point
- Newton's law of universal gravitation. [en línea]. Disponible en: <https://www.math24.net/newtons-law-universal-gravitation/>
- Rotating Frames. [en línea]. Disponible en: <https://www.dpmms.cam.ac.uk/stcs/courses/dynamics/lecturenotes/section4.pdf>
- Rotating reference frame. [en línea]. Disponible en: https://en.wikipedia.org/wiki/Rotating_reference_frame
- Rubinsztein, Ari. Earth-Moon Colinear Lagrange Points Periodic Orbits. [base de datos]. Disponible en: https://arirubin.space/Earth-Moon_System/periodicCoLinear.html
- Rubinsztein, Ari. Category: CR3BP. [en línea]. Disponible en: <https://gereshes.com/category/math/astrodynamics/cr3b>
- The Numerical Algorithm to Find the Halo Orbits. [en línea]. Disponible en: <http://jjensen.org/Scans/ch4001.pdf>
- Theory of Periodic Orbits. [en línea]. Disponible en: <http://jjensen.org/Scans/ch2001.pdf>
- Variedad (matemáticas). [en línea]. Disponible en: [https://es.wikipedia.org/wiki/Variedad_\(matemáticas\)](https://es.wikipedia.org/wiki/Variedad_(matemáticas))

8. Anexos

8.1. Tablas de datos de la transferencia de Hohmann

8.1.1. Impulsos necesarios para llegar a la órbita deseada

Radio final [KM]	Primera maniobra [m/s]	Segunda maniobra [m/s]	Impulso total [m/s]
50000	2402	1372	3775
100000	2680	1234	3915
150000	2787	1114	3901
200000	2843	1022	3865
250000	2878	950	3828
300000	2901	891.7	3793
350000	2918	843	3762
400000	2931	802	3734
450000	2942	766	3708
500000	2950	735	3686

8.1.2. Diferencia de energía entre la órbita de partida y la de llegada

Radio final [Km]	Diferencia de energía [MJ]
50000	23.46
100000	25.12
150000	25.72
200000	26.03
250000	26.22
300000	26.34
350000	26.43
400000	26.5
450000	26.56
500000	26.6

8.1.3. Resultados analíticos y simulados para la transferencia de Hohmann

Radio final [Km]	Impulso (simulado) [m/s]	Error del resultado simulado	Impulso (analítico) [m/s]
50000	7.87	2.26	9
100000	19.5	1	19
150000	32.3	1.4	33
200000	48.3	3.4	50
250000	68.3	2.6	67
300000	85.9	0.2	86
350000	107	4	109
400000	135	4	133
450000	158.2	2.4	157
500000	183	2	182

8.2. Tablas de datos de la RTI

8.2.1. Tiempo de vuelo dentro de la variedad estable dependiendo de la amplitud de la órbita de Lyapunov de partida

1000 Km de radio [días]	2000 Km de radio [días]	3000 Km de radio [días]	4000 Km de radio [días]	5000 Km de radio [días]	6000 Km de radio [días]
4.23568768	4.2559365	4.28999993	4.3383027	4.40143162	4.48019536
3.41009686	3.41301085	3.41756836	3.4232719	3.42936792	3.43484796
3.14759193	3.14947637	3.15231031	3.15559837	3.15860091	3.16032138
2.98780328	2.98940416	2.99172373	2.99420257	2.99600248	2.99597619
2.87964609	2.88135084	2.88379637	2.88634545	2.88803315	2.88751334
2.80486896	2.80699781	2.81010959	2.81349507	2.81606302	2.81625537
2.75415898	2.75700693	2.76129367	2.76626025	2.77071347	2.77290078
2.7216697	2.72549842	2.73142471	2.73868023	2.74602137	2.75155739
2.70332658	2.70833034	2.71626108	2.72640056	2.73753569	2.74773903
2.69638849	2.70263572	2.71274162	2.72611794	2.74168922	2.75763184
2.69967416	2.70701233	2.71912384	2.73565963	2.75581251	2.77801923
2.71441301	2.72228648	2.73563389	2.75452608	2.7785996	2.80670071
2.74612283	2.75314439	2.76577763	2.78490371	2.81092523	2.84326256
2.80872579	2.81157883	2.8189006	2.83337587	2.85695617	2.88995741
2.93270443	2.92379808	2.91519969	2.9138965	2.92555834	2.95236151
3.1676423	3.13546633	3.09200534	3.05222604	3.03183185	3.03927181
3.51922692	3.46736818	3.38445143	3.28395116	3.19744857	3.16076154
3.90004853	3.84592072	3.75094853	3.61175281	3.44319086	3.32391835
4.26355326	4.21348677	4.12281222	3.97843319	3.76209225	3.53054148
4.62003277	4.57285535	4.48732252	4.34841969	4.1195093	3.77723935
4.99368587	4.94677686	4.86237559	4.72622366	4.4966414	4.07928473
5.40294682	5.35467703	5.26820269	5.12983943	4.89776843	4.49005395
5.85791088	5.80770151	5.71777819	5.57420605	5.33500197	5.29438467

8.2.2. Impulso de inserción en la variedad estable

Radio final [Km]	Impulso [Km/s]
500	0.37
1000	0.36
1500	0.36
2000	0.35

8.2.3. Impulso total

Radio final [Km]	Impulso [Km/s]
500	3.35
1000	3.22
1500	3.13
2000	3.03

8.2.4. Tiempo de vuelo final dependiendo del radio final

Radio final [Km]	Transferencia de Hohmann [días]	Muestra de RTI 1 [días]	Muestra de RTI 2 [días]	Muestra de RTI 3 [días]	Muestra de RTI 4 [días]	Muestra de RTI 5 [días]	Muestra de RTI 6 [días]
50000	0.3279166667	null	null	null	null	null	null
100000	0.7791666667	null	null	null	null	null	null
150000	1.345833333	null	null	null	null	null	null
200000	2.0125	null	null	null	null	null	null
250000	2.758333333	null	null	null	null	null	null
300000	3.579166667	23.5	17	23	28.4	120	123
325000	4.01	27.3	21.3	26.1	29.2	120.9	124.8
350000	4.458333333	30.6	26	30	31.8	122	126
400000	5.416666667	null	null	null	null	null	null
450000	6.416666667	null	null	null	null	null	null

8.2.5. Impulso total de la transferencia dependiendo del radio final

Radio final [Km]	Transferencia de Hohmann [m/s]	Muestra de RTI 1 [m/s]	Muestra de RTI 2 [m/s]	Muestra de RTI 3 [m/s]
50000	3775	null	null	null
100000	3915	null	null	null
150000	3901	null	null	null
200000	3865	null	null	null
250000	3828	null	null	null
300000	3793	300	350	325
325000	3776	500	550	650
350000	3762	800	900	1000
400000	3734	null	null	null
450000	3708	null	null	null
500000	3686	null	null	null

8.3. Código de desarrollo propio

8.3.1. Simulador de 'n' cuerpos

```
1 //Simulaci n de un sistema de 'n' cuerpos.
2 //La imagen 'noise' s necesaria para calcular una distribuci n normal de las part culas.
  Cualquier imagen de ruido gaussiano sirve.
3 //La variable 'size' representa la densidad de part culas generadas. Si es demasiado baja,
  convendr subir la opacidad de las part culas
4
5 import java.util.*;
6
7 List<PVector> attractors = new ArrayList<PVector>();
8 List<Particle> particles = new ArrayList<Particle>();
9
10 float[] velo;
11 float[] mass;
12 float punt, dm, dr, col1, col2, col3;
13 float dmax=0;
14 float dmin=999999999;
15 PImage img;
16 int size = 10;
17 color c;
18 int a;
19
20 void setup() {
21   for(int i=0; i<width;i+=size){
22     for(int u=0; u<height;u+=size){
23       particles.add(new Particle(i,u));
24     }
25   }
26   velo = new float[particles.size()];
27   mass = new float[particles.size()];
28
29   img = loadImage("noise.png");
30   image(img,0,0);
31   for(int i=0; i<width;i+=size){
32     for(int u=0; u<height;u+=size){
33       c=(get(i, u));
34       a = c & 0xFF;
35
36       mass[((height/size))*int(i/size)+int(u/size)] = map(a,0,255,200,25);
37     }
38   }
39
40   fullScreen();
41 }
42
43 void draw() {
44   background(0);
45   stroke(255);
46   strokeWeight(.1);
47
48   attractors.clear();
49   for (int i = 0; i < particles.size(); i++) {
50     Particle particle = particles.get(i);
51     particle.system(i);
52   }
53
54   for (int i = 0; i < particles.size(); i++) {
55     Particle particle = particles.get(i);
56
57     for (int j = 0; j < attractors.size(); j++) {
58       particle.attracted(attractors.get(j), mass[j]);
59     }
60     if(dr/dm>dmax){
61       dmax=dr/dm;
```

```

62     }
63     if(dr/dm<dmin){
64         dmin=dr/dm;
65     }
66     println(dmax,dmin);
67     col1=map(dr/dm,50000,5,120,230);
68     col2=map(dr/dm,50000,5,40,150);
69     col3=map(dr/dm,50000,5,140,30);
70     dm=0;
71     dr=0;
72     particle.update();
73     particle.show(mass[i]/65,col1,col2,col3);
74 }
75 saveFrame();
76 }
77
78 class Particle {
79     PVector pos;
80     PVector posp;
81     PVector prev;
82     PVector vel;
83     PVector acc;
84     float mv = 0;
85
86     Particle(float x, float y) {
87         pos = new PVector(x, y);
88         posp = new PVector(x, y);
89         prev = new PVector(x, y);
90         vel = new PVector(random(-mv,mv),random(-mv,mv));
91         acc = new PVector();
92     }
93
94     void system(int i) {
95         attractors.add(new PVector(this.pos.x, this.pos.y));
96         velo[i]=mag(vel.x,vel.y);
97     }
98
99     void update() {
100         vel.add(acc);
101         vel.limit(50);
102         pos.add(vel);
103         acc.mult(0);
104     }
105
106     void show(float mass,float col1,float col2,float col3) {
107         stroke(col1,col2,col3,150);
108         strokeWeight(mass);
109         point(this.pos.x, this.pos.y);
110     }
111
112     void attracted(PVector target, float mass) {
113         PVector force = PVector.sub(target, pos);
114         float d = force.mag();
115         float G = .01;
116         if(d<300){ //para compensar la falta de fuerzas fuera de la pantalla
117             d = constrain(d, 5, 10000);
118             dr+=d*d;
119             dm += 1;
120         }else{
121             d=1000000;
122         }
123         float strength = mass * G / (d * d );
124         force.setMag(strength);
125         acc.add(force);
126         //vel.mult(.999);
127     }

```

128 }

Listing 1: Simulador de sistemas gravitatorios de 'n' cuerpos. Programa desarrollado con Processing.

8.3.2. Simulador de potencial efectivo de un sistema

```
1 //Simulaci n de un sistema de 2 cuerpos y su correspondiente potencial efectivo.
2 //La variable 'freq' modifica la resoluci n del resultado.
3
4 import java.util.*;
5
6 List<PVector> attractors = new ArrayList<PVector>();
7 List<Particle> particles = new ArrayList<Particle>();
8
9 float[] velo;
10 float[] mass;
11 float punt, dm, dr, col1, col2, col3, disp, disn, disp2, disn2,m0,m1,m2,max,x,velm;
12 float dmax=0;
13 float dmin=999999999;
14 int size = 50;
15 int a,freq;
16 PVector sol1,sol2,masscen;
17 boolean destruct;
18 PVector centre= new PVector(750,500);
19
20 void setup() {
21   background(0);
22   particles.add(new Particle(1250,500));
23   particles.add(new Particle(centre.x,centre.y));
24
25   freq=4;
26
27   mass = new float[particles.size()];
28   mass[0]=150;
29   mass[1]=1000;
30
31   velo = new float[particles.size()];
32   velo[0]=5;
33
34   fullScreen();
35 }
36
37 void draw() {
38   background(0);
39   stroke(255);
40   strokeWeight(.1);
41
42   attractors.clear();
43   for (int i = 0; i < particles.size(); i++) {
44     Particle particle = particles.get(i);
45     if(i==0 ||i==1){
46       particle.system();
47     }
48   }
49
50   for (int i = particles.size()-1; i > -1 ; i--) {
51     Particle particle = particles.get(i);
52
53     for (int j = 0; j < attractors.size(); j++) {
54       particle.attracted(attractors.get(j), mass[j]);
55     }
56     particle.update(i);
57     if(destruct==false){
58       particle.show();
59     }else{
60       particles.remove(i);
61       destruct=false;
62     }
59   }
60 }
61 }
```

```

62     }
63 }
64
65 for (int j = 0; j < width; j+=freq) {
66     for (int k = 0; k < height; k+=freq) {
67         strokeWeight(1);
68         masscen = new PVector((mass[0]*posP.x+mass[1]*centre.x)/(mass[0]+mass[1]), (mass
69 [0]*posP.y+mass[1]*centre.y)/(mass[0]+mass[1]));
70         float one+=sq(((sqrt(mass[1]/abs(dist(masscen.x,masscen.y,posP.x,posP.y))))/dist(
71 masscen.x,masscen.y,posP.x,posP.y)*dist(masscen.x,masscen.y,j,k))/2+(mass[1]/dist(
72 centre.x,centre.y,j,k)+mass[0]/dist(posP.x,posP.y,j,k));
73         if(one>max && one<50){
74             max=one;
75         }
76         for (float y = -5; y < 500; y+=.1) {
77             if(one>y-.005 && one<y+.005){
78                 stroke(255);
79                 point(j,k);
80             }
81         }
82     }
83 }
84
85 PVector pos1,pos2,posP,velP;
86 float G = .1;
87 float dif=100;
88
89 class Particle {
90     PVector pos;
91     PVector posp;
92     PVector prev;
93     PVector vel;
94     PVector acc;
95     float mv = 0;
96
97     Particle(float x, float y) {
98         pos = new PVector(x, y);
99         posp = new PVector(x, y);
100         prev = new PVector(x, y);
101         vel = new PVector(0,0);
102         if(pos.x==1250 && pos.y==500){
103             vel.add(-(pos.y-centre.y),pos.x-centre.x);
104             vel.setMag(sqrt(G*1000/abs(dist(centre.x,centre.y,pos.x,pos.y))));
105         }if(pos.y==centre.x && pos.x==centre.y){
106             vel.add(0,0);
107         }
108
109         acc = new PVector();
110     }
111
112     void system() {
113         attractors.add(new PVector(this.pos.x, this.pos.y));
114     }
115
116     void update(int particle) {
117         vel.add(acc);
118         vel.limit(50);
119         pos.add(vel);
120         acc.mult(0);
121
122         if(particle==1){
123             centre=pos;
124         }

```

```

125     if(particle==0){
126         posP=pos;
127         velP=vel;
128     }
129 }
130
131 void show() {
132     stroke(255,200);
133     strokeWeight(5);
134     point(this.pos.x, this.pos.y);
135 }
136
137 void attracted(PVector target, float mass) {
138     PVector force = PVector.sub(target, pos);
139
140     float d = force.mag();
141     d = constrain(d, 50, 10000);
142     float strength = mass * G / (d * d);
143     force.setMag(strength);
144     acc.add(force);
145
146     if(mag(this.vel.x, this.vel.y)>velm){
147         velm=mag(this.vel.x, this.vel.y);
148     }
149 }
150 }

```

Listing 2: Simulador del potencial efectivo de un sistema de 2 cuerpos. Programa desarrollado con Processing.

8.3.3. Simulación 3d de un sistema de 3 cuerpos y sus puntos de Lagrange

```

1 //Simulaci n de un sistema de 3 cuerpos, su potencial efectivo, y el comportamiento de
  objetos en sus puntos de Lagrange
2 //Pulsar '0' para obtener un resultado de buena calidad visual.
3
4 import java.util.*;
5 import peasy.PeasyCam;
6 PeasyCam cam;
7
8 List<PVector> attractors = new ArrayList<PVector>();
9 List<Particle> particles = new ArrayList<Particle>();
10 List<PVector> trajectory = new ArrayList<PVector>();
11
12 float[] velo;
13 float[] mass;
14 float punt, dm, dr, col1, col2, col3, max,f1,t;
15 float dmax=0;
16 float dmin=999999999;
17 PImage img;
18 int size = 50;
19 int a;
20 float x,velm;
21 float G = 1;
22
23 float freq=5;
24 PVector sol1,sol2,masscen;
25 PVector centre= new PVector(0,0);
26
27 void setup() {
28     fullScreen(P3D);
29     translate(width/2,height/2);
30     cam = new PeasyCam(this, 1000);
31
32     particles.add(new Particle(0,0,0,50,255,255,0));
33     particles.add(new Particle(0,500,0,10,70,180,245));
34     particles.add(new Particle(0,465.3319363,0,1,30,230,40));
35     particles.add(new Particle(0,-500.2083333,0,1,30,230,40));

```



```

36 particles.add(new Particle(0,534.66806372,0,1,30,230,40));
37 particles.add(new Particle(465,183,0,1,30,230,40));
38 particles.add(new Particle(-465,183,0,1,30,230,40));
39
40 mass = new float[particles.size()];
41 mass[0]=1000;
42 mass[1]=1;
43 mass[2]=.00000001;
44 mass[3]=.00000001;
45 mass[4]=.00000001;
46 mass[5]=.00000001;
47 mass[6]=.00000001;
48
49 velo = new float[particles.size()];
50 velo[0]=5;
51 }
52
53 void draw() {
54     if(keyPressed){
55         freq=.6;
56     }
57     background(255);
58     stroke(255);
59     strokeWeight(.1);
60
61     attractors.clear();
62     for(int i = 0; i < particles.size(); i++){
63         Particle particle = particles.get(i);
64         particle.system(i);
65     }
66
67     for(int i = 0; i < particles.size(); i++){
68         Particle particle = particles.get(i);
69
70         for(int j = 0; j < attractors.size(); j++){
71             particle.attracted(attractors.get(j), mass[j]);
72         }
73         particle.update(i);
74         particle.show();
75     }
76
77     for(int l = 0; l < trajectory.size(); l++){
78         strokeWeight(3);
79         stroke(255,0,0);
80         point(trajectory.get(l).x,trajectory.get(l).y,trajectory.get(l).z);
81     }
82
83     for (float j = -700; j < 700; j+=freq) {
84         for (float k = -sqrt(abs(490000-sq(j))); k < sqrt(abs(490000-sq(j))); k+=freq) {
85             strokeWeight(1);
86             masscen = new PVector((mass[1]*posP.x+mass[0]*centre.x)/(mass[1]+mass[0]), (mass[1]*
87             posP.y+mass[0]*centre.y)/(mass[1]+mass[0]),0);
88             float one=sqrt(((sqrt(mass[0]/abs(dist(masscen.x,masscen.y,posP.x,posP.y))))/dist(
89             masscen.x,masscen.y,posP.x,posP.y)*dist(masscen.x,masscen.y,j,k))/2+(mass[0]/dist(
90             centre.x,centre.y,j,k)+mass[1]/dist(posP.x,posP.y,j,k));
91             for (float y = 0; y < 3.5; y+=.05) {
92                 if(one>y-.0075 && one<y+.0075){
93                     stroke(0,100);
94                     point(j,k,-one*100+296);
95                 }
96             }
97         }
98     }
99     PVector pos1,pos2,posP,velP;
100     float dif=100;

```

```

101 class Particle {
102     PVector pos;
103     PVector posp;
104     PVector prev;
105     PVector vel;
106     PVector acc;
107     PVector mass;
108     PVector col;
109     float mv = 0;
110
111     Particle(float x, float y, float z, float s, float c1, float c2, float c3) {
112         pos = new PVector(x, y, z);
113         posp = new PVector(x, y, z);
114         prev = new PVector(x, y, z);
115         vel = new PVector();
116         mass = new PVector(s,s);
117         col = new PVector(c1,c2,c3);
118         if(pos.y==0){
119             vel.add(0,0,0);
120         }if(pos.y==500){
121             vel.add(sqrt(2),0,0);
122         }if(pos.y==465.3319363){
123             vel.add(sqrt(2)/500*465.3319363,0,0);
124         }if(pos.y==-500.2083333){
125             vel.add(-sqrt(2)/500*500.2083333,0,0);
126         }if(pos.y==534.66806372){
127             vel.add(sqrt(2)/500*534.66806372,0,0);
128         }if(pos.x==-465){
129             vel.add(0.517602,1.31522,0);
130         }if(pos.x==465){
131             vel.add(0.517602,-1.31522,0);
132         }
133
134         acc = new PVector();
135     }
136
137     void system(int i) {
138         attractors.add(new PVector(this.pos.x, this.pos.y, this.pos.z));
139         velo[i]=mag(vel.x,vel.y,vel.z);
140     }
141
142     void update(int particle) {
143         vel.add(acc);
144         vel.limit(50);
145         pos.add(vel);
146         acc.mult(0);
147
148         if(particle==0){
149             centre=pos;
150         }
151         if(particle==1){
152             posP=pos;
153             velP=vel;
154         }
155     }
156
157     void show() {
158         stroke(this.col.x,this.col.y,this.col.z);
159         strokeWeight(10);
160         pushMatrix();
161         translate(this.pos.x,this.pos.y,this.pos.z);
162         trajectory.add(new PVector(this.pos.x, this.pos.y, this.pos.z));
163         if(trajectory.size()>2000){
164             trajectory.remove(0);
165         }
166         sphere(this.mass.x);
167         popMatrix();
168     }

```

```

169
170 void attracted(PVector target, float mass) {
171     PVector force = PVector.sub(target, pos);
172     float d = force.mag();
173     d = constrain(d, 5, 10000);
174     float strength = mass * G / (d * d);
175     force.setMag(strength);
176     acc.add(force);
177
178     if(mag(this.vel.x, this.vel.y, this.vel.z)>velm){
179         velm=mag(this.vel.x, this.vel.y, this.vel.z);
180     }
181 }
182 }

```

Listing 3: Programa utilizado para las representaciones del problema de los 3 cuerpos y sus puntos de Lagrange. Desarrollado con Processing.

8.3.4. Simulador del CR3BP

```

1 //Simulaci n de un sistema de 3 cuerpos en un sistema rotatorio no-inercial.
2 //presionar 'o' para ver la constante de Jacobi en forma de l neas equipotenciales.
3 //presionar '0' para ver la imagen con m s calidad visual.
4
5 import java.util.*;
6 import peasy.PeasyCam;
7 PeasyCam cam;
8
9 float def=.01;
10 float ratio=.01215;
11 boolean orb;
12 PVector pos = new PVector(1.03,-.05,-.03);
13 PVector vel = new PVector(.0003,.0000,.0004);
14 PVector acc = new PVector();
15 PVector pos1=new PVector(-ratio,0,0);
16 PVector pos2=new PVector(1-ratio,0,0);
17 List<PVector> trajectory = new ArrayList<PVector>();
18
19 void setup() {
20     fullScreen(P3D);
21     cam = new PeasyCam(this, 500,0,0,500);
22 }
23
24 void draw() {
25     background(255);
26
27     if(orb==true){
28         for (float j = -5; j < 5; j+=def) {
29             for (float k = -5; k < 5; k+=def) {
30                 float jacobi=(sq(j)+sq(k))+2*(1-ratio)/dist(pos1.x,pos1.y,pos1.z,j,k,0)+2*ratio/
31                 dist(pos2.x,pos2.y,pos2.z,j,k,0);
32
33                 float l1=3;
34                 float l2=3.5;
35
36                 for(float lin=l1;lin<l2;lin+=.1){
37                     if(jacobi>lin-.01 && jacobi<lin+.01){
38                         strokeWeight(3);
39                         stroke(map(jacobi,l1,l2,0,255),map(jacobi,l1,l2,150,0),map(jacobi,l1,l2,255,0)
40                         ,20);
41                         point(map(j,-5,5,-5000,5000),map(k,-5,5,-5000,5000),-jacobi*200+635);
42                     }
43                 }
44             }
45         }
46     }
47 }

```

```

46 stroke(255);
47 trajectory.add(new PVector(map(pos.x,-5,5,-5000,5000),map(pos.y,-5,5,-5000,5000),map(pos.z
,-5,5,-5000,5000)));
48 for (int l = 0; l < trajectory.size()-1; l++) {
49   strokeWeight(2.5);
50   //point(trajectory.get(l).x, trajectory.get(l).y, trajectory.get(l).z);
51   stroke(0,255,0);
52   line(trajectory.get(l).x, trajectory.get(l).y, trajectory.get(l).z, trajectory.get(l+1).
x, trajectory.get(l+1).y, trajectory.get(l+1).z);
53   stroke(0);
54 }
55
56 if(dist(pos1.x,pos1.y,pos1.z,pos.x,pos.y,pos.z)>.02){
57   acc=new PVector(2*vel.y + pos.x -(1-ratio)*(pos.x+ratio)/pow(sqrt(sq(pos.x+ratio)+sq(pos
.y)+sq(pos.z)),3) -ratio*(pos.x-1+ratio)/pow(sqrt(sq(pos.x-1+ratio)+sq(pos.y)+sq(pos.z))
,3),
58   -2*vel.x + pos.y -(1-ratio)*pos.y/pow(sqrt(sq(pos.x+ratio)+sq(pos.y)+sq(pos.z)),3) -
ratio*pos.y/pow(sqrt(sq(pos.x-1+ratio)+sq(pos.y)+sq(pos.z)),3),
59   -(1-ratio)*pos.z*pow(sqrt(sq(pos.x+ratio)+sq(pos.y)+sq(pos.z)),-3) - ratio*pos.z*pow(
sqrt(sq(pos.x-1+ratio)+sq(pos.y)+sq(pos.z)),-3));
60 }
61
62 acc.mult(.0000001);
63 vel.add(acc);
64 pos.add(vel);
65
66 strokeWeight(75);
67 point(map(-ratio,-5,5,-5000,5000),0,0);
68 strokeWeight(10);
69 point(map(1-ratio,-5,5,-5000,5000),0,0);
70 strokeWeight(3);
71 point(map(pos.x,-5,5,-5000,5000),map(pos.y,-5,5,-5000,5000),map(pos.z,-5,5,-5000,5000));
72 }
73
74 void keyPressed(){
75   if(key==CODED){
76     if(keyCode==UP){
77       def-=.002;
78     }if(keyCode==DOWN){
79       def+=.002;
80     }
81   }if(key=='0'){
82     def=.001;
83   }if(key=='1'){
84     def=.1;
85   }
86   if(key=='o'){
87     if(orb==false){
88       orb=true;
89     }else{
90       orb=false;
91     }
92   }
93 }

```

Listing 4: Simulador del Problema de los 3 cuerpos Circular Reducido. Programa desarrollado con Processing.

8.3.5. Algoritmo selector de órbitas periódicas en el CR3BP

```

1 //Simulaci n de un sistema de 3 cuerpos en un sistema rotatorio no-inercial.
2 //Cuenta con un algoritmo de selecci n de rbitas peri dicas (beta).
3 //La sensibilidad del selector est representada como la variable 'di2', y se deber
ajustar para cada caso.
4
5 float t,jac;
6 float G=1;
7 float m1=1000;

```

```

8 float m2=100;
9 float M=m1+m2;
10 float mu1=G*m1;
11 float mu2=G*m2;
12 float R=mu1+mu2;
13 float w=sqrt(G*M/pow(R, 3));
14 float ratio=m2/(m1);
15
16 PVector pos1;
17 PVector pos2;
18
19 import java.util.*;
20 import peasy.PeasyCam;
21 PeasyCam cam;
22
23 List<PVector> attractors = new ArrayList<PVector>();
24 List<Particle> particles = new ArrayList<Particle>();
25 List<PVector> trajectory = new ArrayList<PVector>();
26
27 float[] velo;
28 float[] mass;
29 float punt, dm, dr, col1, col2, col3, max, f1;
30 float dmax=0;
31 float dmin=999999999;
32 PImage img;
33 int size = 50;
34 float x, velm;
35
36 PVector sol1, sol2, masscen;
37 PVector centre= new PVector(0, 0);
38
39 boolean jaco1,jaco2,jaco3,orb,ciclo,first,passed,repet;
40 float freq=100;
41 float jac1;
42 float ma=0;
43 float mi=500;
44 float di1=1;
45 float di2=.001;
46 int rep;
47
48 void setup() {
49     fullScreen(P3D);
50     translate(width/2, height/2);
51     cam = new PeasyCam(this, 1000);
52
53     particles.add(new Particle(-ratio, 0, 0, 0, 0, 0, 50, m1,0,0,0));
54     particles.add(new Particle(1-ratio, 0, 0, 0, 0, 0, 20, m2,0,0,0));
55
56     for (float i = ma; i < mi; i+=di1) {
57         particles.add(new Particle(1.08,0,0,i,.08,0,5,0,i,0,0));
58     }
59
60     first=true;
61 }
62
63 void draw() {
64     t+=.001;
65     background(0);
66     stroke(255);
67     strokeWeight(.1);
68
69     for (int i = 0; i < particles.size(); i++) {
70         Particle particle = particles.get(i);
71         particle.update(i);
72         particle.show();
73     }
74     if(repet==true){
75         repet=false;

```

```

76     for (int i = 2; i < particles.size(); i++) {
77         Particle particle = particles.get(i);
78         println(mi,ma,"101");
79         particle.repe(map(i,0,particles.size(),mi,ma));
80     }
81     mi=500;
82     ma=0;
83 }
84
85 for (int l = 0; l < trajectory.size()-1; l++) {
86     if (orb==true) {
87         strokeWeight(2.5);
88         stroke(255, 0, 0);
89         point(trajectory.get(l).x, trajectory.get(l).y, trajectory.get(l).z);
90     }
91 }
92 if(jaco1==true){
93     for (int j = -750; j < 750; j+=freq) {
94         for (float k = -sqrt(abs(562500-sq(j))); k < sqrt(abs(562500-sq(j))); k+=freq) {
95             stroke(255);
96             strokeWeight(2);
97             float jacobi=(sq(map(j,-2500,2500,-5,5))+sq(map(k,-2500,2500,-5,5)))+2*(1-ratio)/
dist(map(pos1.x,-5,5,-2500,2500),map(pos1.y,-5,5,-2500,2500),map(pos1.z,-5,5,-2500,2500)
,j,k,0)+2*ratio/dist(map(pos2.x,-5,5,-2500,2500),map(pos2.y,-5,5,-2500,2500),map(pos2.z
,-5,5,-2500,2500),j,k,0);
98
99             for(float lin=0;lin<2;lin+=.1){
100                 if(jacobi>lin-.01 && jacobi<lin+.01){
101                     point(j,k,-jacobi*100);
102                 }
103             }
104         }
105     }
106 }
107 if(jaco2==true){
108     for (int j = -1250; j < 1251; j+=1) {
109         for (int k = -1250; k < 1251; k+=freq) {
110             stroke(255,50);
111             strokeWeight(2);
112             float jacobi=(sq(map(j,-750,750,-.1,.1))+sq(map(k,-750,750,-.1,.1)))+2*(1-ratio)/
dist(map(pos1.x,-5,5,-2500,2500),map(pos1.y,-5,5,-2500,2500),map(pos1.z,-5,5,-2500,2500)
,j,k,0)+2*ratio/dist(map(pos2.x,-5,5,-2500,2500),map(pos2.y,-5,5,-2500,2500),map(pos2.z
,-5,5,-2500,2500),j,k,0);
113             point(j,k,-jacobi*10000);
114         }
115     }
116     for (int j = -1250; j < 1251; j+=freq) {
117         for (int k = -1250; k < 1251; k+=1) {
118             stroke(255,50);
119             strokeWeight(2);
120             float jacobi=(sq(map(j,-750,750,-.1,.1))+sq(map(k,-750,750,-.1,.1)))+2*(1-ratio)/
dist(map(pos1.x,-5,5,-2500,2500),map(pos1.y,-5,5,-2500,2500),map(pos1.z,-5,5,-2500,2500)
,j,k,0)+2*ratio/dist(map(pos2.x,-5,5,-2500,2500),map(pos2.y,-5,5,-2500,2500),map(pos2.z
,-5,5,-2500,2500),j,k,0);
121             point(j,k,-jacobi*10000);
122         }
123     }
124 }
125 if(jaco3==true){
126     for (int j = -750; j < 750; j+=freq) {
127         for (float k = -sqrt(abs(562500-sq(j))); k < sqrt(abs(562500-sq(j))); k+=freq) {
128             stroke(255);
129             strokeWeight(2);
130             float jacobi=(sq(map(j,-2500,2500,-1,1))+sq(map(k,-2500,2500,-1,1)))+2*(1-ratio)/
dist(map(pos1.x,-5,5,-2500,2500),map(pos1.y,-5,5,-2500,2500),map(pos1.z,-5,5,-2500,2500)
,j,k,0)+2*ratio/dist(map(pos2.x,-5,5,-2500,2500),map(pos2.y,-5,5,-2500,2500),map(pos2.z
,-5,5,-2500,2500),j,k,0);
131

```

```

132         if(jacobi>map(mouseX,0,width,0,.1)-.002 && jacobi<map(mouseX,0,width,0,.1)+.002){
133             stroke(0,0,255);
134         }else{
135             stroke(255);
136         }
137         strokeWeight(2);
138         point(j,k,-jacobi*1000);
139     }
140 }
141 }
142 }
143
144 void keyReleased(){
145     ciclo=false;
146     if(key=='o'){
147         if(orb==false){
148             orb=true;
149         }else{
150             orb=false;
151         }
152     }
153     if(key=='j'){
154         if(jaco1==false && jaco2==false && jaco3==false && ciclo==false){
155             jaco1=true;
156             jaco2=false;
157             jaco3=false;
158             ciclo=true;
159         }if(jaco1==true && jaco2==false && jaco3==false && ciclo==false){
160             jaco1=false;
161             jaco2=true;
162             jaco3=false;
163             ciclo=true;
164         }if(jaco1==false && jaco2==true && jaco3==false && ciclo==false){
165             jaco1=false;
166             jaco2=false;
167             jaco3=true;
168             ciclo=true;
169         }if(jaco1==false && jaco2==false && jaco3==true && ciclo==false){
170             jaco1=false;
171             jaco2=false;
172             jaco3=false;
173             ciclo=true;
174         }
175         ciclo=true;
176     }
177     if(jaco2==true){
178         if(key=='1'){
179             freq=200;
180         }if(key=='2'){
181             freq=150;
182         }if(key=='3'){
183             freq=100;
184         }if(key=='4'){
185             freq=50;
186         }if(key=='5'){
187             freq=25;
188         }if(key=='6'){
189             freq=15;
190         }if(key=='7'){
191             freq=10;
192         }if(key=='8'){
193             freq=5;
194         }if(key=='9'){
195             freq=3;
196         }
197     }
198     if(jaco1==true || jaco3==true){
199         if(key=='1'){

```

```

200     freq=100;
201     }if(key=='2'){
202         freq=75;
203     }if(key=='3'){
204         freq=50;
205     }if(key=='4'){
206         freq=25;
207     }if(key=='5'){
208         freq=15;
209     }if(key=='6'){
210         freq=10;
211     }if(key=='7'){
212         freq=5;
213     }if(key=='8'){
214         freq=3;
215     }if(key=='9'){
216         freq=1;
217     }
218 }
219 }
220
221 PVector posP,velP;
222 float dif=100;
223
224 float redu=.00001;
225
226 class Particle {
227     PVector pos;
228     PVector posp;
229     PVector prev;
230     PVector vel;
231     PVector acc;
232     PVector mass;
233     PVector col,data;
234     float mv = 0;
235
236     Particle(float x, float v1, float y, float v2, float z, float v3, float s, float m, float
237         d1, float d2, float d3) {
238         pos = new PVector(x, y, z);
239         posp = new PVector(x, y, z);
240         prev = new PVector(x, y, z);
241         vel = new PVector(v1*redu,v2*redu,v3*redu);
242         mass = new PVector(s,m);
243         acc = new PVector();
244         data = new PVector(d1,d2,d3);
245     }
246
247     void update(int particle) {
248         pos1=new PVector(-ratio,0,0);
249         pos2=new PVector(1-ratio,0,0);
250         if(particle>=2){
251             acc.mult(0);
252             float r1=sqrt(sq(this.pos.x+ratio)+sq(this.pos.y));
253             float r2=sqrt(sq(this.pos.x-1+ratio)+sq(this.pos.y));
254             float a=1;
255             float b=1;
256             acc=new PVector(a*(2*this.vel.y+this.pos.x)-((1-ratio)*(this.pos.x+ratio)/pow(dist(
257                 pos1.x,pos1.y,pos1.z,this.pos.x,this.pos.y,this.pos.z),3)+ratio*(this.pos.x-1+ratio)/pow
258                 (dist(pos2.x,pos2.y,pos2.z,this.pos.x,this.pos.y,this.pos.z),3))*b,
259                 a*(-2*this.vel.x+this.pos.y)-((1-ratio)*this.pos.y/pow(dist(pos1.x,pos1.y,pos1.z,this.
260                 pos.x,this.pos.y,this.pos.z),3)+ratio*this.pos.y/pow(dist(pos2.x,pos2.y,pos2.z,this.pos.
261                 x,this.pos.y,this.pos.z),3))*b,
262                 (-(1-ratio)*this.pos.z/pow(dist(pos1.x,pos1.y,pos1.z,this.pos.x,this.pos.y,this.pos.z)
263                 ,3)-ratio*this.pos.z/pow(dist(pos2.x,pos2.y,pos2.z,this.pos.x,this.pos.y,this.pos.z),3))
264                 *b);
265             strokeWeight(2);
266             acc.mult(redu);
267             acc.limit(.01);

```



```

261     vel.add(acc);
262     pos.add(vel);
263
264
265     float sens=.000253;
266     if(millis()>1000 && mass.y<1 && this.pos.x>.5 && this.pos.z<0 && this.pos.y>=-di2 &&
this.pos.y<=di2 && this.vel.z>=-di2 && this.vel.z<=di2 && this.vel.x>=-di2 && this.vel.x
<=di2){
267         mass.x=6;
268         passed=true;
269         if(this.data.x<mi){
270             mi=this.data.x;
271         }if(this.data.x>ma){
272             ma=this.data.x;
273         }
274         println(mi,ma);
275     }if(((millis())>20000 + 20000*rep && mass.y<1)){
276         if(passed==true){
277             passed=false;
278             di1*=.9;
279             di2*=.9;
280         }else{
281             di1*=.9;
282             di2*=1.05;
283         }
284         repet=true;
285         rep++;
286     }
287 }
288 }
289
290 void show() {
291     float x,y,z;
292     pushMatrix();
293     translate(map(this.pos.x,-5,5,-2500,2500),map(this.pos.y,-5,5,-2500,2500),map(this.pos.z
,-5,5,-2500,2500));
294     strokeWeight(mass.x);
295     if(mass.x==6){
296         stroke(0,255,0);
297     }else{
298         stroke(255);
299     }
300     point(0,0,0);
301     popMatrix();
302
303     if(mass.y<1){
304         text(data.x+" "+data.y+" "+data.z,map(this.pos.x,-5,5,-2500,2500),map(this.pos.y
,-5,5,-2500,2500),map(this.pos.z,-5,5,-2500,2500));
305         if(first==true){
306             jac1=(sq(map(this.pos.x,-2500,2500,-1,1))+sq(map(this.pos.y,-2500,2500,-1,1)))+2*(1-
ratio)/dist(map(pos1.x,-5,5,-2500,2500),map(pos1.y,-5,5,-2500,2500),map(pos1.z
,-5,5,-2500,2500),this.pos.x,this.pos.y,0)+2*ratio/dist(map(pos2.x,-5,5,-2500,2500),map(
pos2.y,-5,5,-2500,2500),map(pos2.z,-5,5,-2500,2500),this.pos.x,this.pos.y,0)-sq(mag(this
.vel.x,this.vel.y,this.vel.z));
307             //println(jac1);
308             first=false;
309         }
310
311         trajectory.add(new PVector(map(this.pos.x,-5,5,-2500,2500),map(this.pos.y
,-5,5,-2500,2500),map(this.pos.z,-5,5,-2500,2500)));
312         if(trajectory.size()>200000){
313             trajectory.remove(0);
314         }
315     }
316 }
317
318 void repe(float i){
319     pos=new PVector(1.08,0,.08);

```

```

320     vel=new PVector(0,i*redu,0);
321     mass.x=5;
322 }
323 }

```

Listing 5: Algoritmo selector de órbitas periódicas en el Problema de los 3 cuerpos Circular Reducido. Programa desarrollado con Processing.

8.4. Código ajeno

Los simuladores utilizados en este trabajo (el simulador de transferencias de Hohmann, y el simulador del CR3BP) se pueden encontrar respectivamente en las siguientes páginas web:

- <https://es.mathworks.com/matlabcentral/fileexchange/38942-the-hohmann-orbit-transfer>
- <https://github.com/gereshes/Matlab-Astroynamics-Library>